

Method for determining starting tread separation of a tyre on a vehicle

Publication number: EP1308320 (A2)

Publication date: 2003-05-07

Inventor(s): HARTMANN BERND [DE]; KOEBE ANDREAS DR [DE] +

Applicant(s): CONTINENTAL AG [DE] +

Classification:

- **international:** B60C23/06; G01M17/02; B60C23/06; G01M17/02; (IPC1-7); B60C19/00; B60C23/08; G01M17/02

- **European:** B60C23/06A; G01M17/02

Application number: EP20020015974 20020718

Priority number(s): DE20011053072 20011030

Also published as:

EP1308320 (A3)
EP1308320 (B1)
US2003080857 (A1)
US6903653 (B2)
JP2003146036 (A)

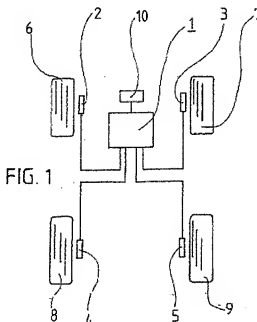
more >>

Cited documents:

US4570152 (A)
EP1031442 (A2)
US6028508 (A)

Abstract of EP 1308320 (A2)

The method involves producing periodic vibration as a speed output signal either in an axle or a wheel, proportional to the wheel rotating speed and feeding it to a signal processor. The method then superimposes the signal over a separately defined periodic vibration characteristic of an onset of tread rubber separation, proportional to wheel speed and producing a warning signal upon detecting the superimposition.



Data supplied from the *espacenet* database — Worldwide



(12)

EUROPÄISCHE PATENTANMELDUNG

(43) Veröffentlichungstag:
07.05.2003 Patentblatt 2003/19

(51) Int Cl.⁷: **B60C 19/00**, B60C 23/06,
G01M 17/02

(21) Anmeldenummer: 02015974.5

(22) Anmeldetag: 18.07.2002

(84) Benannte Vertragsstaaten:
AT BE BG CH CY CZ DE DK EE ES FI FR GB GR
IE IT LI LU MC NL PT SE SK TR
Benannte Erstreckungsstaaten:
AL LT LV MK RO SI

(30) Priorität: 30.10.2001 DE 10153072

(71) Anmelder: Continental Aktiengesellschaft
30165 Hannover (DE)

(72) Erfinder:
• Hartmann, Bernd
31542 Bad Nenndorf (DE)
• Köbe, Andreas Dr.
64625 Bensheim (DE)

(54) Verfahren zur Ermittlung sich anbahnender Laufstreifenablösung eines Luftreifens bei einem Fahrzeug

(57) Verfahren zur Ermittlung sich anbahnender Laufstreifenablösungen eines Luftreifens an einem Fahrzeug, bei dem mindestens an jeder Achse, vorzugsweise an jedem Rad, eine permanent vorhandene erste periodische und zur Radrehzahl proportionale Schwingung erzeugt und als Drehzahl- Ausgangssignal einer Signalverarbeitungseinrichtung zugeleitet wird, und bei dem sich anbahnende Laufstreifenablösungen eine oder mehrere separat definierte, für sich anbahnende

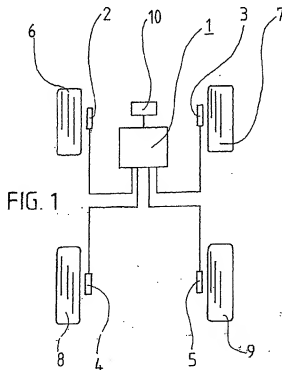


FIG. 1

Beschreibung

[0001] Die Erfindung betrifft ein Verfahren zur Ermittlung sich anbahnender Laufstreifenabblösungen eines Luftreifens an einem Fahrzeug

[0002] Die ständig steigenden Ansprüche an die Sicherheit von Kraftfahrzeugen erfordern zunehmend eine möglichst umfassende Detektion aller den Fahr- und Bewegungszustand eines Kraftfahrzeuges beeinflussenden und repräsentierenden Parameter zur Nutzung innerhalb intelligenter Systeme zur Fahrwerks- und Fahrzeugsteuerung und -regelung. Insbesondere typische Gefahrensituationen, wie sie etwa bei plötzlichen Ablösungen von Teilen des Laufstreifens auftreten können, sollen sicher erkannt werden und entsprechende Warn- oder Steuersignale auslösen.

[0003] Die höchsten Gefahren von plötzlichen Reifen-schäden gehen nämlich von Laufflächenabblösungen aus, da in den meisten Fällen insbesondere beim Fahren bei hohen Geschwindigkeiten innerhalb von Bruchteilen von Sekunden den Laufstreifenabblösungen ein Platzen des Reifens folgt, was zum Verlust der Beherrschbarkeit des Fahrzeuges und zu schweren Unfällen führt.

[0004] Das Detektieren und Anzeigen sich anbahnender Laufstreifenabblösungen, ein Moment in dem das Fahrzeug noch kontrolliert zum Stehen gebracht werden kann, bereitet messtechnisch bislang Probleme, da diese Zustände nur schwer erfassbar sind. So hat man sich bislang damit beholfen, über die Anzeige anderer Parameter, welche auf einen kritischen Zustand des Luftreifens hindeuten, auch die Gefahr sich anbahnender oder bereits eingetretener Laufstreifenabblösungen mit zu erfassen.

[0005] Da bekannt ist, dass ein zu geringer Reifeninnendruck zu kritischen Schäden am Luftreifen führt oder führen kann, wurden schon eine Reihe von Lösungen vorgeschlagen, bei denen der Luftdruck im Reifen erfasst und bei Unterschreiten eines vorgegebenen Sollwertes dem Fahrer angezeigt wird um diesen zum Anhalten des Fahrzeuges zu veranlassen. Derartige Vorschläge sind beispielsweise aus der EP 630 769 A1, der EP 826 525 A2, der EP 787 606 A2 und der EP 786 362 A2. Schließlich ist aus der DE 199 08 701 A1 ein System zur Detektierung eines sogenannten Notlaufzustandes bekannt, das einen Reifen mit Notlaufstützkörper voraussetzt, wobei der Stützkörper Unwuchten aufweist, die durch Kontakt mit der Reifeninnenseite im drucklosen Zustand des Reifens Frequenzen erzeugen, die als Störsignal durch einen Sensor, insbesondere durch ein herkömmliches ABS-System erfassbar sind.

[0006] Solche Lösungen machen sich die in vielen Fällen gegebene Korrelation zwischen zu niedrigem Luftdruck und daraus entstehenden Schäden am Reifen aufbau, insbesondere am Laufstreifen, zu nutze. Allerdings ist zu geringer Luftdruck nur eine Ursache für die gefährlichen Laufstreifenabblösungen. Denn diese können sich auch völlig unabhängig vom Reifeninnen-

druck einstellen, beispielsweise durch Überschreiten einer für den Reifentyp zulässigen Höchstgeschwindigkeit. Wenn beispielsweise ein auf 160 km/h begrenzter Winterreifen über einen Zeitraum von ca. 20 min. bei 180 km/h gefahren wird, so kann dies trotz korrektem Luftdruck aufgrund von Überhitzungen zu Laufstreifenabblösungen führen. Auch andere Ursachen, welche regelmäßig auf das Fehlverhalten der Fahrer zurückzuführen sind, können trotz vorschriftsmäßig eingehaltenem Luftdruck zu Laufstreifenabblösungen führen, wie überalterte Reifen, übermäßig abgenutzte Reifen oder anderes. Auch rundumgeurte Reifen können problematisch sein.

[0007] Mit dem Problem der sich anbahnenden Laufstreifenabblösungen beschäftigt sich die US 6 028 508 B1. Dort wird ein Sensor in Form einer Lasers vorgeschlagen, welcher auf den Laufstreifen eines Reifens ausgerichtet ist. Entstehen Wölben oder Blasen am Laufstreifen, erkennt der Laser dies durch Veränderung des Abstandes zwischen Laufstreifen und Laser. Eine derartige Anordnung ist aber relativ aufwendig und teuer, da jedem Rad eine Laserquelle beispielsweise innerhalb des Radkastens zugeordnet sein muß. Auch können hier Schmutz- und Fremdkörperansammlungen zwischen den Profilblöcken zu Fehlinterpretationen führen.

[0008] Für die Erfindung bestand daher die Aufgabe, ein Verfahren zur Ermittlung sich anbahnender Laufstreifenabblösungen eines Luftreifens an einem Fahrzeug bereitzustellen, welches eine sichere Detektion dieses Defektes in allen Fahrzuständen erlaubt, welches alle auftretenden Stör- und Einflußgrößen toleriert, welches bei allen Reifen- und Fahrzeuggrößen und bei allen Reifenkonstruktionen gleichermaßen einsetzbar ist, welches Meßgrößen sicher und auf einfachste Weise, ohne großen konstruktiven oder meßtechnischen Aufwand erfaßbar macht, und welches zudem wirtschaftlich einsetzbar und für Großserien verfügbar ist.

[0009] Gelöst wird die Aufgabe durch die Merkmale des Hauptanspruchs, wobei eine oder mehrere separat definierte, für sich anbahnende Laufstreifenabblösungen charakteristische und zur Raddrehzahl proportionale periodische Schwingungen der ersten Schwingung bzw. dem Drehzahl-Ausgangssignal überlagert werden, und wobei die Signalverarbeitungseinrichtung eine Überlagerung der ersten periodischen Schwingung mit der/den separat definierten und für sich anbahnende Laufstreifenabblösungen charakteristischen periodischen Schwingung(en) detektiert und zu einem Warnsignal verarbeitet wird.

[0010] Durch die Überlagerung der ersten periodischen Schwingung durch eine oder mehrere separat definierte, für sich anbahnende Laufstreifenabblösungen charakteristische und zur Raddrehzahl proportionale periodische Schwingungen wird ein ausschließlich für sich anbahnende Laufstreifenabblösungen spezifisches Charakteristikum erschaffen, welches unabhängig von Einflußgrößen wie Geschwindigkeit, Radiast, Reifen-

verschleiß, Fahrbahnbelag etc. ein eindeutig erkennbares Signal liefert. Beim Auftreten eines solchen Signals kann daher zweifelndfrei auf das Vorliegen sich anbahnender Laufstreifenablösungen geschlossen werden, ohne daß weitere Überprüfungen des Fahrzeugzustandes erfolgen müssen. In vielen Fällen ist zur sicheren Erkennbarkeit bereits die Überlagerung des Drehzahl-Ausgangssignales mit nur einer zweiten für sich anbahnende Laufstreifenablösungen charakteristischen und zur Raddrehzahl proportionalen periodischen Schwingung ausreichend.

[0011] Hierbei wird vorteilhafterweise das Drehzahl-Ausgangssignal in Form einer permanent vorhandenen ersten periodischen und zur Raddrehzahl proportionalen Schwingung durch aktive oder passive Magnetsensoren bereitgestellt, wobei relativ zur letzteren rotierenden magnetisch aktive oder passive und an mit dem Rad drehenden oder an feststehenden Teilen des Fahrzeuges befindliche Einrichtungen, vorzugsweise Encoder, eine zur Raddrehzahl proportionale periodische Magnetfeldänderung erzeugen.

[0012] Durch eine solche Ausbildung des Verfahrens lassen sich einfache und bereits vorhandene und erprobte Meßwertaufnehmer und Signalerzeuger nutzen, so daß der apparative Aufwand verringert wird und eine kostengünstige Produktion der zugehörigen Vorrichtungstelle ermöglicht wird.

[0013] In einer vorteilhaften Ausbildung werden die separat definierten für sich anbahnende Laufstreifenablösungen charakteristischen und zur Raddrehzahl proportionalen periodischen Schwingungen erzeugt.

[0014] In einer weiteren vorteilhaften Ausbildung des Verfahrens wird das Drehzahl-Ausgangssignal nach einer Verarbeitung in der Signalverarbeitungseinrichtung mit einem oder mehreren Referenz- und/oder Schwellenwerten verglichen und mit diesem Vergleich die Überlagerung mit den separaten und für sich anbahnende Laufstreifenablösungen charakteristischen periodischen Schwingungen anhand einer Überschreitung der Referenz- und/oder Schwellenwerte erkannt und zu einem Warnsignal verarbeitet.

[0015] Ein solcher an sich bekannter Vergleich mit Referenz- und/oder Schwellenwerten erhöht die Aussagegesicherheit bei der Detektion sich anbahnender Laufstreifenablösungen ergebender Signale und eröffnet die Möglichkeit, den Einfluß von Störgrößen weiter zu eliminieren.

[0016] Hierbei ist es vorteilhaft, daß das Drehzahl-Ausgangssignal eines Rades oder einer Achse nach einer Verarbeitung in der Signalverarbeitungseinrichtung mit Drehzahl-Ausgangssignalen der übrigen Räder oder Achsen als Referenzwerten verglichen wird. Dies führt zum einen zu einer Lokalisierung sich anbahnender Laufstreifenablösungen und schließt weiterhin aus, daß gleichzeitig auf alle Räder einwirkende Störgrößen, insbesondere bei kurzfristigem Auftreten, nicht zur Auslösung eines Warnsignals führen. Der Vergleich kann hierbei mit Rädern einer Fahrzeugseite, einer Fahr-

zeugachse oder auch in Form eines Vergleiches mit diagonal gegenüberliegenden Rädern durchgeführt werden.

[0017] In einer weiteren vorteilhaften Ausbildung wird in der Signalverarbeitungseinrichtung aus dem Drehzahl-Ausgangssignal die Radgeschwindigkeit für vorgegebene Zeitintervalle errechnet und mit einem oder mehreren Referenz- Radgeschwindigkeiten und / oder Schwellenwerten verglichen, wobei ausgehend von der das Drehzahl-Ausgangssignal repräsentierenden Schwingung in der Signalverarbeitungseinrichtung

a) zunächst für mehrere aufeinanderfolgende und definierte Raddrehwinkel die entsprechenden Zeiten für die durch die definierten Raddrehwinkel bestimmten Teildrehungen des Rades ermittelt und gespeichert werden, und danach

b) innerhalb von definierten und mehrere aufeinanderfolgende Raddrehwinkel beinhaltenden Zeitzeilen T_L aus den für die Teildrehungen ermittelten Zeiten und deren Anzahl eine mittlere Raddrehgeschwindigkeit für eine oder mehrere Radumdrehungen innerhalb der Zeitzeilen errechnet und gespeichert wird, wonach

c) die gemittelten Raddrehgeschwindigkeiten bzw. deren Verlauf mit Referenz- und/oder Schwellenwerten verglichen werden, wobei

d) bei Überschreitung der Referenz- und / oder Schwellenwerte ein Warnsignal ausgegeben wird.

[0018] Hierbei ist die Basis für die Ermittlung bzw. für die Verarbeitung der entsprechenden Zeiten für die durch die definierten Raddrehwinkel bestimmten Teildrehungen des Rades ein "Zeitfenster", nämlich eine definierte Zeitzeit oder Meßzeit T_L , auch "Loop Time" genannt.

[0019] Eine solche Ermittlung der Radgeschwindigkeit beinhaltet lediglich eine relativ einfache Verarbeitung des Drehzahl-Ausgangssignales und reduziert so den Aufwand an elektronischen Verarbeitungseinrichtungen bzw. an Rechnerkapazität und damit die Kosten für die entsprechende Elektronik. Allerdings ist bei einem solchen Verarbeitungsverfahren des Drehzahl-Ausgangssignales zu berücksichtigen, daß bei der Auswertung der Anzahl der erhaltenen Einzelpulse innerhalb einer definierten Zeitzeit T_L auch Karosserie- oder Aufbauschwingungen oder Resonanzen das Auswertungsergebnis - ohne es notwendigerweise in seiner Aussagekraft wesentlich zu schwächen - beeinflussen und verändern, so dass eine Abwägung zwischen möglichst einfacher Auswertung und möglichst genauem Auswertungsergebnis erfolgen muß.

[0020] Durch das im erfindungsgemäßen Verfahren vorgesehene Überlagern des Drehzahl-Ausgangssignales mit einer oder mehreren separat definierten und für sich anbahnende Laufstreifenablösungen charakteristischen Schwingungen ist es nämlich möglich, eine solche vereinfachte und auf den Absolutwert der aufge-

nommenen Geschwindigkeit gerichtete Betrachtung und Auswertung durchzuführen, ohne daß weitere und den Fahrzustand repräsentierende Signale, beispielsweise augenblickliche Längs- oder Querbeschleunigungswerte und Geschwindigkeiten erfaßt werden müssen. Deren Detektion über entsprechende Meßwertaufnehmer erfordert nämlich einen hohen apparativen Aufwand und deren elektronische Verarbeitung führt zu einem wesentlich komplizierteren Aufbau in der Elektronik, was somit entbehrlich wird.

[0021] Die überlagerten separaten und für sich anbahnende Laufstreifenablösungen charakteristischen Zusatzschwingungen stellen sich in einer solchen Verfahrensweise als Geschwindigkeitsschwingungen dar, d. h. als periodische Geschwindigkeitsänderungen innerhalb eines Radumlafs, die durch die sich anbahnenden Laufstreifenablösungen in differentiell kleinen Zeitabschnitten geänderten Abrollradius erzeugt werden. Diese Schwingungen bewirken dabei eine deutlich merkbare Veränderung der Anzahl der aus dem binären Signal ermittelten Zählpulse innerhalb des Zählintervalls T_L (Loop-Time).

[0022] Eine weitere vorteilhafte Ausbildung des Verfahrens besteht darin, daß ausgehend von der das Drehzahl-Ausgangssignal repräsentierenden Schwingung in der Signalverarbeitungseinrichtung

- a) zunächst für mehrere aufeinanderfolgende und definierte Raddrehwinkel die entsprechenden Zeiten für die durch die definierten Raddrehwinkel bestimmten Teildrehungen des Rades ermittelt und gespeichert werden, und danach
- b) ein Mittelwert aus mehreren solchen aufeinanderfolgend ermittelten Zeiten für eine oder mehrere Radumdrehungen errechnet und gespeichert wird, wonach
- c) die Abweichungen der gem. a) ermittelten und gespeicherten Zeiten von dem gem. b) errechneten Mittelwert ermittelt werden, und danach
- d) die ermittelten Abweichungen mit Referenz- und / oder Schwellenwerten verglichen werden, wobei
- e) bei Überschreitung der Referenz- und / oder Schwellenwerte ein Warnsignal ausgegeben wird.

[0023] In diesem Fall ist die Basis für die Ermittlung bzw. für die Verarbeitung der entsprechenden Zeiten für die durch die definierten Raddrehwinkel bestimmten Teildrehungen des Rades nicht etwa ein "Zeitfenster", sondern die Teildrehung des Rades als solche, d. h. also die Betrachtung eines definierten Raddrehwinkels bzw. eines "Winkel-Fensters".

[0024] Bei den üblicherweise verwandten Sensoreinrichtungen, die gezahnten Polräder oder ähnliche Elemente als Encoder beinhalten, erfolgt dabei in aller Regel zunächst eine Umwandlung des Drehzahl-Ausgangssignales in ein Signal aus Einzelpulsen bzw. in ein Rechtecksignal. Dies geschieht dabei so, daß die Flanken des Rechtecksignals mit den das Drehzahl-

Ausgangssignal repräsentierenden Durchgangs-Signalen der Magnetfeldsensoren, die durch die einzelnen Zähne eines gezahnten Polrades erzeugt werden, so korreliert sind, daß eine Rechteckschwingung des Rechtecksignals beispielsweise einen durch den Durchgang eines Zahnes des Polrades definierten Raddrehwinkel darstellt.

[0025] Bei den für die Messung kurzer Zeiten gebräuchlichen Zeitmeßeinrichtungen (Timer), die üblicherweise digitale Eingangssignale zur Verarbeitung benötigen, kann dann die Messung der Zeiten für die durch die definierten Raddrehwinkel bestimmten Teildrehungen des Rades durch die Ermittlung des Flankenabstandes, d. h. der Zeitdifferenzen zwischen den Flanken des Rechtecksignals erfolgen. Sinnvollerweise betrachtet man bei einer solchen Auswertung einer Rechteckschwingung den Flankenabstand bzw. die Zeitdifferenz zwischen den Nulldurchgängen der Flanken des Rechtecksignals, also immer an einer repräsentativen und gleichen Stelle des Signales.

[0026] Selbstverständlich kann statt einer Rechteckschwingung auch jede andere geeignet aufbereitete Schwingung zur Ermittlung der entsprechenden Zeiten für Teildrehungen des Rades genutzt werden.

[0027] Es werden hierbei also die Zeiten für Teildrehungen des Rades über die Zeitdifferenzen zwischen den Nulldurchgängen (Nulldurchgangszeiten) direkt gemessen, d. h. die zeitlichen Abstände $\Delta T_{00}(t)$ zwischen den Flanken einer Rechteckschwingung, wobei ΔT_i die Nulldurchgangszeit jeweils für die Ermittlungen / Messungen $i, i+1, i+2$ etc. darstellt.

[0028] Im Hinblick auf die Mittelwertbildung gemäß Merkmal b) besteht neben der Mittelung von mehreren aufeinanderfolgend ermittelten oder errechneten Werten einer Radumdrehung eine besonders geeignete Art der Auswertung darin, daß die einzelnen ermittelten Zeiten für die durch die definierten Raddrehwinkel bestimmten Teildrehungen des Rades vor der weiteren Verarbeitung zunächst einer drehsynchronen Mittelung in der Art unterzogen werden, daß über mehrere Radumdrehungen aus den in Bezug auf eine Radumdrehung in gleichen Zeitintervallen bzw. in gleichen Drehwinkelintervallen gemessenen Zeiten ein Mittelwert für mehrere Radumdrehungen gebildet wird, der dann der weiteren Signalverarbeitung zugrunde liegt.

[0029] Bei einer solchen drehsynchronen Mittelung werden also die am Rad aufgenommenen und nach einer Verarbeitung bereits als "Zeitwerte" vorliegenden Signale, die in Bezug auf eine Radumdrehung in gleichen Zeitintervallen bzw. in gleichen Drehwinkelintervallen aufgenommen werden, d. h. also die Signale, die etwa durch dieselben Zähne eines Polrades oder Encoders im Verlauf einer einzelnen Radumdrehung erzeugt werden, über mehrere Radumdrehungen gemittelt. Hierdurch läßt sich der Einfluß von Signalausreißern oder von kurzfristig einwirkenden Störgrößen, wie etwa Fahrbahnebenheiten etc., weiter reduzieren und die Aussagekraft des Signals verstärken, da die dann auffälli-

gen Zeiten für die Teildrehungen mit einer für sich ab-
bühende Laufstreifenablösungen charakteristischen
separat definierten Schwingung des Rades sich von
dem in der Regel durch übrige Störgrößen erzeugten
Einflüssen auf die Zeiten deutlich unterscheiden.

[0030] Eine solche Art der Mittelung eignet sich eben-
falls sowohl für die bereits genannte Auswertung auf der
Basis der definierten Zählzeiten (Loop Time) als auch
für andere, durch eine Verarbeitung des Drehzahl-Aus-
gangssignal entstehenden Werte, beispielsweise für die
Frequenzen, die Radgeschwindigkeiten etc., wie nach-
folgend noch beschrieben wird.

[0031] Insgesamt wird durch diese Ausbildung des
Verfahrens einerseits ein überaus präzises und von Auf-
bau- und Karoserieschwingungen nahezu völlig unbe-
einflußtes Auswertungsergebnis ermöglicht, und ander-
erseits steht mit der Ermittlung der Zeiten für die durch
die definierten Raddrehwinkel bestimmten Teildrehun-
gen des Rades, bzw. mit der Ermittlung der Nulldurch-
gangszeiten, eine Eingangs- oder Zwischengröße zur
Verfügung, die durch weitere einfache Rechenschritte
in Kenntnis der geometrischen Abhängigkeiten am Rad
oder Reifen zu Aussagen über die augenblickliche Rad-
geschwindigkeit oder die Radbeschleunigung weiter-
verarbeitet oder auch einer Mustererkennung oder einer
Frequenzauswertung unterzogen werden kann, wie
nachfolgend noch beschrieben wird.

[0032] Zur Frequenzauswertung ist in einer weiteren
vorteilhaften Ausbildung des Verfahrens vorgesehen,
daß ausgehend von der das Drehzahl-Ausgangssignal
repräsentierenden Schwingung in der Signalverarbei-
tungseinrichtung

- a) zunächst für mehrere aufeinanderfolgende und
definierte Raddrehwinkel die entsprechenden Zeiten
für die durch die definierten Raddrehwinkel be-
stimmten Teildrehungen des Rades ermittelt und
gespeichert werden, und danach
- b) mit Hilfe einer oder mehrerer Recheneinheiten
die Frequenzen der gem. a) ermittelten und gespeich-
erten Zeiten durch Kehrwertbildung errechnet und
danach gespeichert werden, wobei anschlie-
ßend
- c) ein Mittelwert der gem. b) ermittelten Frequenzen
für eine oder mehrere Radumdrehungen errechnet
und gespeichert wird, wonach
- d) die Abweichungen der gem. b) ermittelten und
gespeicherten Frequenzen von dem gem. c) er-
rechneten Mittelwert ermittelt werden, und danach
- e) die ermittelten Abweichungen mit Referenz- und
/ oder Schwellenwerten verglichen werden, wobei
- f) bei Überschreitung der Referenz- und / oder
Schwellenwerte ein Warnsignal ausgegeben wird.

[0033] Eine Berechnung der Frequenzen durch Keh-
rwertbildung erfolgt hierbei beispielsweise entsprechend
der Formel $f_{(0)}(t) = 0,5 / \Delta T_{0(0)}(t)$, wobei f die ermittelte
Frequenz und $\Delta T_{0(0)}(t)$ die Nulldurchgangszeit jeweils

für die Ermittlungen / Messungen $i, i+1, i+2$ etc. darstel-
len. Der Faktor 0,5 resultiert in diesem Falle aus den
jeweils 2 gemessenen Nulldurchgangszeiten bei einer
Schwingungsperiode des sinusförmigen Drehzahl-Aus-
gangssignales eines Rades.

[0034] Auch hier ist gem. Merkmal c) neben der Mit-
telung von mehreren aufeinanderfolgend ermittelten
oder errechneten Werten einer Radumdrehung eine
drehsynchrone Mittelung vorgesehen, bei der die am
Rad aufgenommenen und nach einer Verarbeitung be-
reits als "Frequenzwerte" vorliegenden Signale, die in
Bezug auf eine Radumdrehung in gleichen Drehwinke-
lintervallen aufgenommen werden, über mehrere Rad-
umdrehungen gemittelt werden. Hierdurch läßt sich, wie
bereits dargestellt, der Einfluß von Signalrauschen oder
von kurzfristig einwirkenden Störgrößen, wie etwa Fahr-
bahnunebenheiten etc., weiter reduzieren und die Aus-
sagekraft des Signals verstärken, da die dann auffällige
Frequenz der für sich abnähende Laufstreifenablösun-
gen charakteristischen separat definierten Schwingung,
beispielsweise ausgebildet als harmonische Schwin-
gung n-ter Ordnung der Reifenperiode, sich von dem in
der Regel durch übrige Störgrößen erzeugten Einflüs-
sen deutlich unterscheiden.

[0035] Eine alternative vorteilhafte Ausbildung des
Verfahrens im Hinblick auf die Auswertung von Fre-
quenzen besteht darin, daß ausgehend von der das
Drehzahl-Ausgangssignal repräsentierenden Schwin-
gung in der Signalverarbeitungseinrichtung

- a) zunächst für mehrere aufeinanderfolgende und
definierte Raddrehwinkel die entsprechenden Zei-
ten für die durch die definierten Raddrehwinkel be-
stimmten Teildrehungen des Rades ermittelt und
gespeichert werden, und danach
- b) mit Hilfe einer oder mehrerer Recheneinheiten
das Frequenzspektrum der gem. a) ermittelten und
gespeicherten Zeiten einer Frequenzanalyse zur
Ermittlung der spektralen Leistungsdichte (power
spectral density) unterzogen wird, wobei anschlie-
ßend
- c) mit Hilfe einer oder mehrerer Recheneinheiten
die ermittelten spektralen Leistungsdichten einer
Integration über bestimmte ausgewählte Frequen-
zintervalle unterzogen und danach gespeichert
werden, wonach
- d) der Integralwert der ausgewählten Frequenzin-
tervalle verglichen wird mit einem Referenz- oder
Schwellenwert, und
- e) bei Überschreitung der Referenz- oder Schwel-
lenwerte ein Warnsignal ausgegeben wird.

[0036] Eine solche Frequenzanalyse kann beispiels-
weise in Form einer Fourieranalyse durchgeführt wer-
den, was sowohl durch eine Recheneinheit als auch
analog - durch eine Schaltungsanordnung erfolgen
kann.

[0037] Solche Auswertungen bzw. Verfahrensweisen

können jeweils allein oder zusätzlich zur Auswertung der Standardabweichungen der Nulldurchgangszeiten durchgeführt werden. Die Auswertungen der Frequenzanalyse und der nachfolgenden Integration über ausgewählte Frequenzintervalle bieten den Vorteil, daß die Aussagegicherheit dadurch weiter gesteigert werden kann, da die dann auffällige Ordnung der Frequenz der für sich anbahnende Laufstreifenablösungen charakteristischen separat definierten Schwingung, beispielsweise ausgebildet als harmonische Schwingung n-ter Ordnung der Relfenperiode, auf einfache Weise bestimmt werden kann, da sie sich von dem in der Regel durch übrige Störgrößen erzeugten Einflüssen noch deutlicher unterscheidet.

[0038] In einer Weiterbildung der Erfindung kann vorgesehen sein, dass als ausgewählte Frequenzintervalle genau solche verwendet werden, die einem Vielfachen der Radrehfrequenz entsprechen, wobei vorzugsweise niedrigere Vielfache der Radrehfrequenz ($n = 1, 2, 3$) betrachtet werden.

[0039] Eine weitere und in diesem Sinne das Auswertergebnis verdeutlichende vorteilhafte Weiterbildung des Verfahrens besteht darin, daß ausgehend von der Drehzahl-Ausgangssignal repräsentierenden Schwingung in der Signalverarbeitungseinrichtung

- a) zunächst für mehrere aufeinanderfolgende und definierte Radrehwinkel die entsprechenden Zeiten für die durch die definierten Radrehwinkel bestimmten Teildrehungen des Rades ermittelt und gespeichert werden, und danach
- b) mit Hilfe einer oder mehrerer Recheneinheiten aus den gem. a) ermittelten und gespeicherten Zeiten die augenblicklichen Radgeschwindigkeiten errechnet und danach gespeichert werden, wobei anschließend
- c) ein Mittelwert der gem. b) ermittelten Radgeschwindigkeiten für eine oder mehrere Radumdrehungen errechnet und gespeichert wird, wonach
- d) die Abweichungen der gem. b) ermittelten und gespeicherten Radgeschwindigkeiten von dem gem. c) errechneten Mittelwert ermittelt werden, und danach
- e) die ermittelten Abweichungen mit Referenz- und / oder Schwellenwerten verglichen werden, wobei f) bei Überschreitung der Referenz- und / oder Schwellenwerte ein Warnsignal ausgegeben wird.

[0040] Eine Berechnung der Radgeschwindigkeiten erfolgt hierbei beispielsweise entsprechend der Formel $v(t) = 0,02\pi \cdot \Delta T_{00}(t)$, wobei v die Radgeschwindigkeit und ΔT_0 die Nulldurchgangszeit jeweils für die Ermittlungen / Messungen $i, i+1, i+2$ etc. darstellen. Der Abrollumfang des Rades / Reifens während der Nulldurchgangszeit beträgt in diesem Fall $0,02\pi$. Eine solche Auswertung der Radgeschwindigkeiten unterscheidet im Hinblick auf das Ermittlungsverfahren von der bereits genannten und auf der Auswertung der Zeiten für

die Teildrehungen des Rades innerhalb einer "Loop Time", da hier für die Ermittlung bzw. für die Verarbeitung der entsprechenden Zeiten für die durch die definierten Radrehwinkel bestimmten Teildrehungen die Teildrehung des Rades als solche, d.h. also die Betrachtung eines definierten Radrehwinkels zugrunde gelegt wird.

[0041] Ebenso läßt sich in einer anderen vorteilhaften Ausbildung des Verfahrens das Auswertergebnis dadurch verdeutlichen, daß ausgehend von der Drehzahl-Ausgangssignal repräsentierenden Schwingung in der Signalverarbeitungseinrichtung

- a) zunächst für mehrere aufeinanderfolgende und definierte Radrehwinkel die entsprechenden Zeiten für die durch die definierten Radrehwinkel bestimmten Teildrehungen des Rades ermittelt und gespeichert werden, und danach
- b) mit Hilfe einer oder mehrerer Recheneinheiten aus den gem. a) ermittelten und gespeicherten Zeiten die augenblicklichen Radbeschleunigungen errechnet und danach gespeichert werden, wobei anschließend
- c) ein Mittelwert der gem. b) errechneten Radbeschleunigungen für eine oder mehrere Radumdrehungen errechnet und gespeichert wird, wonach
- d) die Abweichungen der gem. b) errechneten Radbeschleunigungen von dem gem. c) errechneten Mittelwert oder von einem Nullwert ermittelt werden, und danach
- e) die ermittelten Abweichungen mit Referenz- und / oder Schwellenwerten verglichen werden, wobei f) bei Überschreitung der Referenz- und / oder Schwellenwerte ein Warnsignal ausgegeben wird.

[0042] Eine Berechnung der Radbeschleunigungen erfolgt hierbei beispielsweise entsprechend der Formel $a(t) = [v(t) - v(t-1)] / \Delta T_{00}(t)$, wobei a die Radbeschleunigung, v die Radgeschwindigkeit und ΔT_0 die Nulldurchgangszeit jeweils für die Ermittlungen / Messungen $i-1, i, i+1, i+2$ etc. darstellen.

[0043] Beide Verfahrensausbildungen, nämlich das der Geschwindigkeitsanalyse und das der Beschleunigungsanalyse können allein oder zusätzlich zur Auswertung der Standardabweichungen der Nulldurchgangszeiten oder der Frequenzen / Frequenzanalyse durchgeführt werden, wobei jede weitere oder zusätzliche und auf der Eingangs- oder Zwischengröße "Nulldurchgangszeiten" beruhende Auswertung Vorteile im Hinblick auf eine gesteigerte Aussagegicherheit bietet. So können beispielsweise beim Abrollen der Räder auf einem sehr unebenen, ggf. stark rütteligem oder mit Bodenwellen oder -vertiefungen versehenem Untergrund durch die verschiedenen Auswerteverfahren die Drehzahl-Ausgangssignale anhand mehrerer Schwellenwerte überprüft werden, wonach mit hoher Sicherheit das Auftreten einer für sich anbahnende Laufstreifenablösungen charakteristischen Schwingung von jegli-

chen Störgrößen unterschieden werden kann.

[0044] Im übrigen können bei der Verwendung von Sensoreinrichtungen, die gezahnte Polräder oder ähnliche Elemente als Encoder beinhalten, alle Auswerteverfahren zusätzlich auch so ausgebildet werden, daß Fehlinterpretationen des Signals durch etwa vorhandene Teilungsfehler der Zahnung oder auch andere Toleranzen in den mechanischen Elementen oder in den elektronischen Bauteilen dadurch vermieden werden, daß die Verarbeitung der Signale ein "Lernen" und eine Selbstkalibrierung des Gesamtsystems beinhaltet. Dies kann z.B. dadurch erfolgen, daß im Normalzustand, d. h. bei der Fahrt ohne sich anbahnende Laufstreifenablösungen, regelmäßig auftretende Abweichungen erkannt und deren Signalanteil vom ermittelten Basisignal abgezogen werden.

[0045] Besonders vorteilhaft läßt sich ein Verfahren zur Ermittlung sich anbahnender Laufstreifenablösungen eines Luftreifens für Fahrzeugräder innerhalb eines Kontrollsystems für luftbereifte Fahrzeugräder verwenden, insbesondere innerhalb eines Anti-Blockier-Systems (ABS), wobei durch das Kontrollsystem mindestens an jeder Achse, vorzugsweise an jedem Rad, eine permanent vorhandene erste periodische und zur Raddrehzahl proportionale Schwingung erzeugt und als Drehzahl-Ausgangssignal einer Signalverarbeitungseinrichtung des Kontrollsystems zugeleitet wird, wobei sich anbahnender Laufstreifenablösungen eine separat definierte, für sich anbahnende Laufstreifenablösungen charakteristische und zur Raddrehzahl proportionale zweite periodische Schwingung der ersten Schwingung bzw. dem Drehzahl-Ausgangssignal überlagert wird, und wobei die Signalverarbeitungseinrichtung des Kontrollsystems eine Überlagerung der ersten periodischen Schwingung mit der separaten zweiten periodischen Schwingung detektiert und zu einem Warnsignal für sich anbahnende Laufstreifenablösungen verarbeitet.

[0046] Durch eine solche Verwendung des Verfahrens ergibt sich eine besonders leichte Einbindung und Integration innerhalb bereits ausgereifter und geprüfter Systeme zur Überprüfung der Fahrzeugdaten, so daß lediglich wenige Änderungen in den hierzu nötigen Vorrichtungen und in der dazu erforderlichen Elektronik durchzuführen sind, um die Kapazität eines solchen Kontrollsystems, beispielsweise eines Anti-Blockier-Systems, um die wichtige Aussage zu erweitern, ob sich anbahnende Laufstreifenablösungen bei einem Rad vorliegen. Die Nutzung der vorhandenen Meßaufnehmer und der Auswertelektronik erlaubt es dann, eine definierte Aussage über sich anbahnende Laufstreifenablösungen in besonders wirtschaftlicher Weise, auch bei der Großserie zu erreichen.

[0047] In einer praktischen Ausführung der Erfindung kann vorgesehen sein, dass der errechnete Mittelwert zunächst um einen ersten Referenzwert bereinigt wird, welcher Fertigungstoleranzen des ABS-Signalgebers (Encoders) für das jeweilige Rad repräsentiert.

[0048] In einer besonders bevorzugten Ausführung

der Erfindung kann vorgesehen sein, dass parallel zur Erfassung des Drehzahl-Ausgangssignals der Reifeninnendruck durch einen Druckerfassungseinrichtung ermittelt wird, wobei Abweichungen von einem vorgegebenen Sollwert um einen vorbestimmten Betrag zu einem für den Fahrer wahrnehmbaren Signal führen.

[0049] Es kann unter bestimmten Bedingungen nämlich vorkommen, dass der Luftdruck im Inneren des Reifens abnimmt, wenn sich Laufstreifenablösungen abbahnen. Die Veränderung des Luftdrucks, also insbesondere die Verringerung des Druckes, kann sich negativ auf das charakteristische Signal auswirken, insofern, als dass dieses Signal bzw. die Frequenz vergleichmäßig wird und daher nicht als Abweichung erfasst wird. Eine gleichzeitige Erfassung des Reifeninnendrucks kann daher als Korrelationsgröße herangezogen werden, um gefährliche Zustände zu erfassen. Dies insbesondere, was gemäß einer weiteren vorteilhaften Ausgestaltung der Erfindung vorgesehen sein kann, dass der durch die Druckerfassungseinrichtung ermittelte Druckwert in Korrelation zum Drehzahl-Ausgangssignal gebracht wird.

[0050] In einer praktischen Ausgestaltung der Erfindung kann ferner vorgesehen sein, dass als Druckerfassungseinrichtung ein Deflation Detection System (DDS) verwendet wird, bei welchem luftdruckbedingte Veränderungen des Abrollumfangs des Reifens ermittelt werden.

[0051] Anhand eines Ausführungsbeispiels soll die Erfindung näher erläutert werden. Es zeigen:

- Fig. 1 eine Prinzipskizze zur Anordnung einer erfindungsgemäßen Vorrichtung innerhalb eines Kraftfahrzeuges
- Fig. 2 eine prinzipielle Darstellung einer im Stand der Technik vorhandenen und mit einer aktiven Gebereinrichtung versehenen Sensoreinrichtung für die Raddrehzahl
- Fig. 3 eine prinzipielle Darstellung einer im Stand der Technik vorhandenen und mit einer passiven Gebereinrichtung versehenen Sensoreinrichtung für die Raddrehzahl
- Fig. 4 eine prinzipielle Darstellung einer im Stand der Technik vorhandenen und mit einer aktiven Gebereinrichtung in Form von in der Reifenseitenwand angeordneten permanentmagnetischen Arealen versehenen Sensoreinrichtung für die Raddrehzahl
- Fig. 5a ein Diagramm, welches die Auswertung der verarbeiteten und mit Hilfe der Sensoreinrichtungen über die Raddrehzahl ermittelten Radgeschwindigkeiten der einzelnen Räder innerhalb definierter Zählzeiten (Loops) zeigt ein vergrößerte Darstellung (Lupe) des in Fig. 5a markierten Zeitintervalls
- Fig. 5b
- Fig. 6a das Zeitverhalten einer ungestörten und mit Hilfe von Sensoreinrichtungen ermittelten und zur Raddrehzahl proportionalen Schwin-

- Fig. 6b gung (normales Drehzahl-Ausgangssignal) bei konstanter Geschwindigkeit
- Fig. 6b das Zeitverhalten einer mit Hilfe von Sensoreinrichtungen ermittelten und zur Raddrehzahl proportionalen Schwingung mit überlagelter Schwingung n-ter Ordnung der Reifenperiode (überlagertes Drehzahl-Ausgangssignal) im Vergleich zum normalen Drehzahl-Ausgangssignal gem. Fig. 6a,
- Fig. 7a die über einer Zeitachse aufgetragenen Nulldurchgangszeiten $\Delta T_{00}(t)$ (Nulldurchgangszeiten-Signal) des normalen und des überlagerten Drehzahl-Ausgangssignales gem. Fig. 6b, die mit Hilfe einer die Zeitdifferenzen zwischen den Nulldurchgängen der erhaltenen Einzelimpulse messenden Zeitkontroll-einrichtung (Timer) ermittelt wurden,
- Fig. 7b die über einer Zeitachse aufgetragenen und durch Kehrwertbildung aus den Nulldurchgangszeiten gem. Fig. 7a ermittelten Frequenzen,
- Fig. 7c die über einer Zeitachse aufgetragene und aus den Nulldurchgangszeiten gem. Fig. 7a errechnete Radgeschwindigkeit,
- Fig. 7d die über einer Zeitachse aufgetragene und aus den Radgeschwindigkeiten gem. Fig. 7c errechnete Radbeschleunigung,
- Fig. 7e die mit Hilfe einer Frequenzanalyse des Nulldurchgangszeiten-Signales gem. Fig. 7a ermittelte spektrale Leistungsdichte, aufgetragen über der Frequenz,
- Fig. 7f die über einer Zeitachse aufgetragene und aus den Nulldurchgangszeiten errechneten Radgeschwindigkeiten aller vier Räder nach Auswertung realer und am fahrenden Fahrzeug aufgenommenener Drehzahl-Ausgangssignale,
- Fig. 8 eine schematische Darstellung einer auf der verfahrensgemäßen Auswertung der Anzahlen der erhaltenen Einzelimpulse innerhalb einer definierten Zähizeit T_L (Loop-Time) des normalen bzw. überlagerten Drehzahl-Ausgangssignales beruhenden Signalverarbeitung einer erfindungsgemäßen Vorrichtung als Ablaufplan
- Fig. 9 eine schematische Darstellung einer auf der verfahrensgemäßen Auswertung der Nulldurchgangszeiten $\Delta T_{00}(t)$ beruhenden Signalverarbeitung einer erfindungsgemäßen Vorrichtung als Ablaufplan
- Fig. 10 eine schematische Darstellung der Signalverarbeitung einer erfindungsgemäßen Vorrichtung als Ablaufplan, bei der eine auf der Kehrwertbildung beruhende Berechnung der Frequenzen mehrerer aufeinanderfolgender Messungen der Nulldurchgangszeiten erfolgt
- Fig. 11 zeigt eine schematische Darstellung der Signalverarbeitung einer erfindungsgemäßen

Vorrichtung als Ablaufplan, bei der mit Hilfe einer Recheneinheit das Frequenzspektrum der Nulldurchgangszeiten in Abhängigkeit von der Zeit (Zeiten-Signal) einer Frequenzanalyse zur Ermittlung der spektralen Leistungsdichte (power spectral density) unterzogen wird

[0052] Die Figur 1, die die Anordnung einer erfindungsgemäßen Vorrichtung innerhalb eines Kraftfahrzeuges darstellt, zeigt zunächst eine zentrale Recheneinheit 1, die mit Sensoreinrichtungen 2-5 verbunden ist, welche wiederum den einzelnen Rädern 6-9 zugeordnet sind.

[0053] Die Sensoreinrichtungen detektieren die Drehzahl-Ausgangssignale der einzelnen Räder und leiten diese an die zentrale Recheneinheit weiter, welche ausgangseitig mit einer Anzeige- und Warneinrichtung 10 verbunden ist, etwa mit einer im Sichtfeld des Fahrers am Armaturenbrett angeordneten optischen Warnanzeige.

[0054] Die zentrale Recheneinheit beinhaltet eine Signalverarbeitungseinheit mit allen Einrichtungen zur Auswertung und zum Vergleich der Drehzahl-Ausgangssignale der einzelnen Räder sowie zur Erzeugung eines Warnsignals in der Anzeigeeinrichtung 10.

[0055] Die Figur 2 zeigt die prinzipielle Darstellung der in der erfindungsgemäßen Vorrichtung eingesetzten und an sich bekannten Sensoreinrichtung, wobei je eine aktive Gebereinrichtung in Form eines mit den jeweiligen Rad rotierenden Polrades 11 vorhanden ist, welches eine periodische Magnetfeldänderung in dem Magnetfeldsensor 12 erzeugt, die als Drehzahl-Ausgangssignal in Form einer zur Raddrehzahl proportionalen periodischen Schwingung in der zur zentralen Recheneinheit gehörigen Signalverarbeitungseinrichtung ausgewertet und verarbeitet wird.

[0056] Die Figur 3 zeigt eine prinzipielle Darstellung einer alternativen und ebenfalls im Stand der Technik vorhandenen Sensoreinrichtung, wobei hier eine passive Gebereinrichtung in Form eines auf seinem Umfang gezahnten metallischen Rades 13 vorhanden ist, dessen Drehzahl über einen hierfür ausgebildeten Magnetfeldsensor 14 detektiert wird.

[0057] Die Figur 4 zeigt eine weitere bekannte Alternative einer Sensoreinrichtung in prinzipieller Darstellung, wobei wiederum eine aktive Gebereinrichtung in Form von in der Reifenseitenwand 15 angeordneten permanentmagnetischen Arealen 16 angeordnet sind. Die Drehzahl eines solchermaßen ausgerüsteten Reifens wird dann über einen entsprechend ausgebildeten Magnetfeldsensor 17 detektiert.

[0058] Die Figur 5a zeigt ein Diagramm, welches die Auswertung der in der Signalverarbeitungseinrichtung verarbeiteten und mit Hilfe der Sensoreinrichtungen über die Raddrehzahl ermittelten Radgeschwindigkeiten der einzelnen Räder innerhalb definierter Zähzeiten T_L (Loop-Time) zeigt.

[0059] Die definierten Zählzeiten sind hier auf der Abszisse dargestellt, während die Ordinate die Radgeschwindigkeiten der einzelnen Räder beinhaltet. Das Diagramm zeigt dabei synchron die Radgeschwindigkeiten aller vier Räder, nämlich des linken Vorderrades (FL = Front left) des rechten Vorderrades (FR = Front right), des linken Hinterrades (RL = Rear left) und des rechten Hinterrades (RR = Rear right).

[0060] Deutlicher erkennbar werden die unterschiedlichen Radgeschwindigkeiten in der Figur 5b, die eine vergrößerte Darstellung (Lupe) des in der Figur 5a markierten Zeitintervalls 24 darstellt.

[0061] Die Figuren 5a und 5b zeigen hierbei die verfahrensgemäße Auswertung für ein Fahrzeug, dessen linkes Hinterrad (RL) sich anbahnende Laufstreifenablösungen zeigt.

[0062] Man erkennt hier bereits bei einer sehr einfachen Geschwindigkeitsauswertung, daß der Geschwindigkeitsverlauf des linken Hinterrades sich deutlich detektierbar von den Geschwindigkeitsverläufen der übrigen Räder unterscheidet, wobei hier etwa 11 Zählzeiten (Loops) eine Radumdrehung repräsentieren. Die den Geschwindigkeitsverlauf des linken Hinterrades repräsentierende Geschwindigkeitskurve 200, deren Charakteristik durch eine separat definierte und zur Raddrehzahl proportionale periodische Schwingung erzeugt wird, läßt sich leicht und mit herkömmlichen Mitteln durch Referenz- oder Schwellenwerte 201 und 202 für die Radgeschwindigkeit überprüfen und als sich anbahnende Laufstreifenablösungen repräsentative Geschwindigkeitskurve detektieren, auch wenn diese durch Karosserie- oder Aufbauschwingungen und Resonanzen beeinflusst ist.

[0063] Die Figuren 6a und 6b und 7a - 7e zeigen die deutliche Erkennbarkeit einer dem Drehzahl-Ausgangssignal überlagerten für sich anbahnende Laufstreifenablösungen charakteristischen und separat definierten, zur Raddrehzahl proportionalen Schwingung, die durch typische Unregelmäßigkeiten in Form von Unwuchten erzeugt wird.

[0064] In diesen prinzipiellen und lediglich qualitativ Darstellungen zeigt die Figur 6a zunächst das durch die Kurve 203 dargestellte Zeitverhalten eines normalen Drehzahl-Ausgangssignales, beispielsweise eines ABS-Signales, bei konstanter Geschwindigkeit ohne sich anbahnende Laufstreifenablösungen, d.h. im Normalzustand.

[0065] Treten nun unregelmäßige Schwingungen auf, so erhält man das in der Figur 6b durch die Kurve 204 qualitativ gezeigte Zeitverhalten des überlagerten Drehzahl-Ausgangssignales, dargestellt im Vergleich zum nicht überlagerten, d.h. normalen Drehzahl-Ausgangssignal gem. Kurve 203.

[0066] Die Figur 7a zeigt die über einer Zeitachse aufgetragenen ermittelten Zeiten für die durch die definierten Raddrehwinkel bestimmten Teildehungen des Rades in Form eines Nulldurchgangszeiten-Signales $\Delta T_{00}(t)$ des normalen und des überlagerten Drehzahl-Aus-

gangssignales gem. Fig. 6b anhand der Kurven 205 und 206, das mit Hilfe einer der Zeiten / Zeitdifferenzen zwischen den Nulldurchgängen der erhaltenen Einzelmessungen messenden Zeitkontrolleneinrichtung (Timer) ermittelt wurde.

[0067] Hierbei erkennt man, daß die Nulldurchgangszeiten des normalen Drehzahl-Ausgangssignales gem. Fig. 6b entsprechend der Kurve 205 im wesentlichen konstant bleiben und bei etwa bei 0,8 msec liegen, abgesehen von sich durch leichte Schwankungen zeigenden störenden Einflüssen, wie sie beispielsweise durch Geschwindigkeitsänderungen, Fahrbahnelast, Signalrauschen etc. entstehen können.

[0068] Die Nulldurchgangszeiten des überlagerten Drehzahl-Ausgangssignales gem. Fig. 6b weisen entsprechend der Kurve 206 demgegenüber deutliche merkbare periodische Abweichungen von etwa 0,02 msec auf und schwanken im Hinblick auf ihren Absolutwert zwischen etwa 0,78 und 0,82 msec.

[0069] Die Figur 7b zeigt hierzu die über einer Zeitachse aufgetragenen und durch Kehrwertbildung entsprechend der bereits beschriebenen Formel $f_0(t) = 0,5 / \Delta T_{00}(t)$ ermittelten Frequenzen der Nulldurchgangszeiten gem. Fig. 7a. Auch hier wird deutlich, daß die ermittelten Frequenzen der Nulldurchgangszeiten des normalen Drehzahl-Ausgangssignales gem. Fig. 6b entsprechend der Kurve 207 im wesentlichen konstant bleiben und in diesem Fall bei etwa bei 625 Hz liegen, abgesehen wieder von sich lediglich durch leichte Schwankungen zeigenden störenden Einflüssen.

[0070] Die entsprechend ermittelten Frequenzen der Nulldurchgangszeiten des überlagerten Drehzahl-Ausgangssignales gem. Fig. 7a weisen entsprechend der Kurve 208 demgegenüber deutliche merkbare und besonders klar detektierbare periodische Abweichungen auf, wobei die Frequenzen im Hinblick auf ihren Absolutwert zwischen etwa 610 Hz und 640 Hz schwanken.

[0071] Die Figur 7c zeigt hierzu die über einer Zeitachse aufgetragenen und aus Nulldurchgangszeiten gem. Fig. 7a entsprechend der bereits beschriebenen Formel $v_0(t) = 0,02m / \Delta T_{00}(t)$ ermittelten Radgeschwindigkeiten. Auch hier wird deutlich, daß die aus dem normalen Drehzahl-Ausgangssignale ermittelten Radgeschwindigkeiten entsprechend der Kurve 209 im wesentlichen konstant bleiben und in diesem Fall bei etwa bei 25 m/sec liegen, während die aus dem überlagerten Drehzahl-Ausgangssignal ermittelten Radgeschwindigkeiten entsprechend der Kurve 210 demgegenüber klar detektierbare periodische Abweichungen aufweisen, wobei die Radgeschwindigkeiten im Hinblick auf ihren Absolutwert zwischen etwa 24,2 m/sec und 25,8 m/sec schwanken.

[0072] Die Figur 7d zeigt die über einer Zeitachse aufgetragene und aus den Radgeschwindigkeiten gem. Fig. 7c nach der bereits beschriebenen Formel $a_0(t) = [v_0 - v_{0-1}] / \Delta T_{00}(t)$ errechnete Radbeschleunigung. Hier ist erkennbar, daß die aus den Radgeschwindigkeiten des normalen Drehzahl-Ausgangssignales ermit-

teilen Radbeschleunigungen gemäß der Kurve 211 im wesentlichen konstant bleiben, während die aus den Radgeschwindigkeiten des überlagerten Drehzahl-Ausgangssignales ermittelten Radbeschleunigungen entsprechend der Kurve 212 demgegenüber klar detektierbare periodische Abweichungen aufweisen. Die Kurve 213 zeigt jetzt hierbei die durch Mittelwertbildung gefilterten Radbeschleunigungen der Kurve 212. Eine solche Filterung kann gelegentlich sinnvoll werden, da aufgrund des aufrauhenden Charakters einer Differentiation die Beschleunigungskurven oftmals besonders veräusert sind, sodaß nach der Filterung eine sicherere und leichtere Auswertung erfolgen kann.

[0073] Die Figur 7e zeigt die mit Hilfe einer Frequenzanalyse des Nulldurchgangszeiten-Signales gem. Fig. 7a, hier nämlich mit Hilfe einer schnellen Fourier-Transformation (FFT), ermittelte spektrale Leistungsdichte (spectral density), aufgetragen über der Frequenz. Hierbei erkennt man, daß die aus dem Nulldurchgangszeiten-Signal des überlagerten Drehzahl-Ausgangssignales ermittelte spektrale Leistungsdichte gemäß der Kurve 215 deutliche Spitzen (peaks) zeigt im Vergleich zu der aus dem Nulldurchgangszeiten-Signal des normalen Drehzahl-Ausgangssignales ermittelten spektrale Leistungsdichte gemäß Kurve 214. Die hier gezeigten "peaks" entstehen in Form und Anordnung durch eine mit Hilfe von 13 gleichmäßig über den Umfang verteilten Einbuchtungen auf einem sich anbahnende Laufstreifenabblösungstützkörper erzeugten harmonischen Schwingung 13. Ordnung der Reifenperiode, wobei die zu betrachtenden Frequenzintervalle u.a. abhängig sind von der Ordnung der überlagerten Schwingung und von der Radgeschwindigkeit. Zur weiteren Auswertung bildet man in solchen bestimmten Frequenzbereichen das Integral über die Kurven spektraler Leistungsdichte und vergleicht diese mit Referenz- oder Schwellenwerten oder auch untereinander.

[0074] Die Fig. 7f zeigt im Gegensatz zu den oben qualitativen Darstellungen die Auswertung realer und am fahrenden Fahrzeug aufgenommenen Drehzahl-Ausgangssignale, wobei hier die aus Nulldurchgangszeiten entsprechend der bereits beschriebenen Formel $v_0(t) = 0,02m / \Delta T_{0,0}(t)$ ermittelten Radgeschwindigkeiten aller vier Räder - ähnlich der qualitativen Darstellung für ein Rad in der Fig. 7c - gezeigt sind. Zur besseren Erkennbarkeit und zur Minderung des Einflusses des Signalrauschens wurde hier eine Mittelung über sechs nacheinanderfolgende Berechnungen der Nulldurchgangszeiten (sechs Flankensignale) durchgeführt.

[0075] Anhand dieser Auswertung wird die durch das erfinderische Verfahren ermöglichte zweifelsfreie Detektion des sich anbahnende Laufstreifenabblösunges unter realen Gegebenheiten besonders deutlich. Die aus dem normalen Drehzahl-Ausgangssignale ermittelten Radgeschwindigkeiten - entsprechend den Kurve 209' (FL), 209" (FR) und 209''' (RR) - bleiben bis auf Störgrößen und Signalrauschen im wesentlichen

konstant bzw. annähernd gleichförmig steigend auch bei der hier vorhandenen Geschwindigkeitserhöhung (Beschleunigung), während die aus dem überlagerten Drehzahl-Ausgangssignal des anbahnende Laufstreifenabblösungen aufweisenden linken Hinterrades (RL) ermittelten Radgeschwindigkeiten entsprechend der Kurve 210' demgegenüber klar detektierbare periodische Abweichungen aufweisen.

[0076] Die Figur 8 zeigt eine schematische Darstellung einer auf der verfahrensgemäßen Auswertung der Anzahlen der erhaltenen Einzelimpulse innerhalb einer definierten Zählzeit T_L (Loop-Time) des normalen bzw. überlagerten Drehzahl-Ausgangssignales beruhenden Signalverarbeitung einer erfindungsgemäßen Vorrichtung als Ablaufplan, wobei bei dem hier gezeigten Verarbeitungsschema eine mittlere Raddrehgeschwindigkeit innerhalb von definierten und mehrere aufeinanderfolgende Raddrehwinkel beinhaltenden Zählzeiten T_L ermittelt wird aus den für die Teildrehungen ermittelten Zeiten und deren Anzahl für eine oder mehrere Radumdrehungen innerhalb der Zählzeiten T_L (Loop-Time).

[0077] Schematisch dargestellt sind hier zunächst die an den einzelnen Rädern vom links (FL), vom rechts (FR), hinten links (RL) und hinten rechts (RR) angeordnete Sensoreinrichtungen, die aus den als Polräder gemäß der Fig. 2a ausgebildeten aktiven Geberanordnungen 27-30 und den jeweils zugeordneten Magnetfeldsensoren 31-34 bestehen.

[0078] Die durch die Sensoreinrichtungen detektierten Drehzahl-Ausgangssignale werden dann an die zur zentralen Rechereinheit 1 gehörigen Signalverarbeitungseinrichtung 100 weitergeleitet und hier mit Hilfe der Tiefpaß-Filter 35-38 von hochfrequenten Rauschanteilen gefiltert, wonach die das Drehzahl-Ausgangssignal repräsentierende Schwingung über Schmitt-Trigger 39-42 in ein Rechtecksignal aus Einzelimpulsen umgewandelt wird.

[0079] Die so entstandenen Einzelimpulse aus den Drehzahl-Ausgangssignalen der einzelnen Räder gelangen dann zu den Zeitkontrolleinrichtungen 43 bis 46 (Timer), welche für mehrere aufeinanderfolgende und definierte Raddrehwinkel die entsprechenden Zeiten für die durch die definierten Raddrehwinkel bestimmten Teildrehungen des Rades messen, wobei die Messung der Zeiten durch die Ermittlung der Zeitdifferenzen (Nulldurchgangszeiten) zwischen zwei auf- bzw. absteigenden und mit den Zeiten für die Teildrehungen korrelierenden Flanken des Rechtecksignals erfolgt.

[0080] Parallel hierzu werden die Einzelimpulse des Rechtecksignals den Zählrichtungen 43' bis 46' zugeleitet zur Ermittlung der Anzahl $n(T_L)$ der erhaltenen Einzelimpulse bzw. der gemessenen Zeiten innerhalb einer definierten Zählzeit T_L .

[0081] Die Anzahlen der erhaltenen Einzelimpulse mehrerer aufeinanderfolgender Zählzeiten, hier die Anzahlen $n(T_L)_{FL,0}$, $n(T_L)_{FR,0}$, $n(T_L)_{RL,0}$ und $n(T_L)_{RR,0}$ von 10 aufeinanderfolgenden Zählzeiten ($i = 1-10$) der jeweils verarbeiteten Drehzahl-Ausgangssignale der

einzelnen Räder, sowie auch die ermittelten Zeiten für die durch die definierten Raddrehwinkel bestimmten Teildrehungen des Rades werden dann dem Speicher 47 eingelesen und durch eine nachgeschaltete Rechenschaltung 48 weiterverarbeitet, in der eine Berechnung und ggf. Speicherung der mittleren Raddrehgeschwindigkeiten $V(T_{FL(0)})$, $V(T_{FR(0)})$, $V(T_{RL(0)})$ und $V(T_{RR(0)})$ innerhalb der Zählezeiten T_L für eine oder mehrere Radumdrehungen aus den für die Teildrehungen ermittelten Zeiten und deren Anzahlen innerhalb der Zählezeiten T_L erfolgt.

[0082] Die gemittelten Raddrehgeschwindigkeiten werden dann in einer Vergleichseinrichtung 49 mit Referenz- und/oder Schwellenwerten verglichen, wobei die Vergleichseinrichtung bei Überschreitung einer vorgegebenen Differenz zu den Referenz- und/oder Schwellenwerten ein Signal an die Anzeigeeinrichtung 10 übermittelt, welche im Sichtbereich des Fahrers im Armaturenbrett angeordnet ist.

[0083] Die zentrale Rechereinheit 1 beinhaltet im weiteren hier nicht näher dargestellte Einrichtungen zur Energieversorgung und -leitung, ggf. zur Signalverstärkung und zur Signalübertragung, Kühleinrichtungen etc., wie sie üblicherweise in solchen auch als Mikro-Rechner bezeichneten Einheiten vorhanden und notwendig sind.

[0084] Die Zeitkontrollereinrichtungen 43 bis 46 sowie die Zähleinrichtungen 43' bis 46' können hierbei auch, ebenso wie etwa die in den Fig. 9 und 10 dargestellten Zeitkontrollereinrichtungen (Timer), als jeweils eine "Multiplex"-Einrichtung ausgebildet sein, die in kurzen Zeitabständen die einzelnen Drehzahl-Ausgangssignale der Achsen oder Räder zeitlich nacheinander verarbeitet.

[0085] Die Figur 9 zeigt eine schematische Darstellung einer auf der verfahrensgemäßen Auswertung der Nulldurchgangszeiten $\Delta T_{0(0)}(t)$ beruhenden Signalverarbeitung einer erfindungsgemäßen Vorrichtung als Ablaufplan, bei der die Zeiten für Teildrehungen des Rades über die Zeitdifferenzen zwischen den Nulldurchgängen (Nulldurchgangszeiten) direkt gemessen werden, d.h. die zeitlichen Abstände $\Delta T_{0(0)}(t)$ zwischen den Flanken einer Rechteckschwingung, wobei ΔT_0 die Nulldurchgangszeit jeweils für die Ermittlungen/Messungen i, i+1, i+2 etc. darstellt.

[0086] Schematisch dargestellt sind hier wiederum zunächst die an den einzelnen Rädern vorn links (FL), vorn rechts (FR), hinten links (RL) und hinten rechts (RR) angeordneten Sensoreinrichtungen, die aus den als Polräder gemäß der Fig. 2a ausgebildeten aktiven Gebereinrichtungen 27-30 und den jeweils zugeordneten Magnetfeldsensoren 31-34 bestehen.

[0087] Wie bereits bei der in der Figur 8 dargestellten Signalverarbeitung werden auch hier die durch die Sensoreinrichtung detektierten Drehzahl-Ausgangssignale an die zur zentralen Rechereinheit 1 gehörigen Signalverarbeitungseinrichtung 100 weitergeleitet und hier mit Hilfe der Tiefpaß-Filter 35-38 von hochfrequenten

Rauschantteilen gefiltert, wonach die das Drehzahl-Ausgangssignal repräsentierende Schwingung über Schmitt-Trigger 39-42 in ein Rechtecksignal aus Einzelpulsen umgewandelt wird.

[0088] Die jeweils erhaltenen Einzelpulse aus den Drehzahl-Ausgangssignalen der einzelnen Räder gelangen dann zu den Zeitkontrollereinrichtungen 50 bis 53 (Timer), welche für mehrere aufeinanderfolgende und definierte Raddrehwinkel die entsprechenden Zeiten für die durch die definierten Raddrehwinkel bestimmten Teildrehungen des Rades messen, wobei die Messung der Zeiten durch die Ermittlung der Zeitdifferenzen $\Delta T_{0(0)}(t)$ zwischen zwei auf- bzw. absteigenden und mit den Zeiten für die Teildrehungen korrelierenden Flanken des Rechtecksignals (Nulldurchgangszeiten) erfolgt.

[0089] In einem nachgeschalteten Speicher 54 werden die Nulldurchgangszeiten $\Delta T_{0FL(0)}$, $\Delta T_{0FR(0)}$, $\Delta T_{0RL(0)}$ und $\Delta T_{0RR(0)}$ mehrerer aufeinanderfolgender Zeitmessungen der jeweils verarbeiteten Drehzahl-Ausgangssignale der einzelnen Räder abgelegt, wobei hier jeweils 10 aufeinander folgende Zeitmessungen ($i = 10$) gespeichert werden.

[0090] In einer nachfolgenden Rechenschaltung 55 werden die Abweichungen der Zeiten für die Teildrehungen des Rades von den hier für eine oder mehrere Radumdrehungen berechneten Mittelwerten der Zeiten für die Teildrehungen des Rades bzw. der Nulldurchgangszeiten mehrerer aufeinanderfolgender Messungen ermittelt und einer Vergleichseinrichtung 56 zugeleitet, welche die ermittelten Abweichungen mit Referenz- und/oder Schwellenwerten vergleicht und bei Überschreitung einer vorgegebenen Differenz zu den Referenz- und/oder Schwellenwerten ein Warnsignal in die Warneinrichtung 10 abgibt, die wiederum im Blickfeld des Fahrers im Armaturenbrett angeordnet ist.

[0091] Die Figur 10 zeigt eine schematische Darstellung der Signalverarbeitung einer erfindungsgemäßen Vorrichtung als Ablaufplan, bei der eine auf der Kehrwertbildung beruhende Berechnung der Frequenzen mehrerer aufeinanderfolgender Messungen der Nulldurchgangszeiten erfolgt.

[0092] Wiederum sind hier zunächst schematisch dargestellt die an den einzelnen Rädern vorn links (FL), vorn rechts (FR), hinten links (RL) und hinten rechts (RR) angeordneten Sensoreinrichtungen, die aus den als Polräder gemäß der Fig. 2a ausgebildeten Gebereinrichtungen 27-30 und den jeweils zugeordneten Magnetfeldsensoren 31-34 bestehen.

[0093] Die durch die Sensoreinrichtungen detektierten Drehzahl-Ausgangssignale werden dann an die zur zentralen Rechereinheit 1 gehörigen Signalverarbeitungseinrichtung 100 weitergeleitet und hier mit Hilfe der Tiefpaß-Filter 35-38 von hochfrequenten Rauschantteilen gefiltert, wonach die das Drehzahl-Ausgangssignal repräsentierende Schwingung über Schmitt-Trigger 39-42 in ein Rechtecksignal aus Einzelpulsen umgewandelt wird.

[0094] Die jeweils erhaltenen Einzelpulse aus den

Drehzahl-Ausgangssignalen der einzelnen Räder gelangen dann zu den Zeitkontrolleneinrichtungen 50 bis 53 (Timer), welche für mehrere aufeinanderfolgende und definierte Raddrehwinkel die entsprechenden Zeiten für die durch die definierten Raddrehwinkel bestimmten Teildrehungen des Rades messen, wobei die Messung der Zeiten durch die Ermittlung der Zeitdifferenzen $\Delta T_{00}(t)$ zwischen zwei auf- bzw. absteigenden und mit den Zeiten für die Teildrehungen korrelierenden Flanken des Rechtecksignals (Nulldurchgangszeiten) erfolgt.

[0095] Die so erhaltenen Nulldurchgangszeiten werden dann den Recheneinheiten 57 - 60 zugeleitet, in denen eine Berechnung der Frequenzen der Nulldurchgangszeiten durch Kehrwertbildung entsprechend der Formel $f_0(t) = 0,5 / \Delta T_{00}(t)$ erfolgt, wobei $f_0(t)$ die ermittelte Frequenz und $\Delta T_{00}(t)$ die Nulldurchgangszeit jeweils für die Ermittlungen/Messungen $i, i+1, i+2$ etc. darstellen. Der Faktor 0,5 resultiert in diesem Falle aus den jeweils 2 gemessenen Nulldurchgangszeiten bei einer Schwingungsperiode des hier sinusförmigen Drehzahl-Ausgangssignales eines Rades.

[0096] In einem nachgeschalteten Speicher 61 werden die aus den Nulldurchgangszeiten ermittelten Frequenzen $f_{FL}(t)$, $f_{FR}(t)$, $f_{RL}(t)$ und $f_{RR}(t)$ mehrerer aufeinanderfolgender entsprechender Verarbeitungen der jeweiligen Drehzahl-Ausgangssignale der einzelnen Räder abgelegt, wobei hier jeweils 10 aufeinanderfolgende Frequenzermittlungen ($i = 10$) gespeichert werden.

[0097] In einer nachfolgenden Rechenschaltung 62 werden die Abweichungen der Frequenzen von den hier für eine oder mehrere Raddrehungen berechneten Mittelwerten der Frequenzen für mehrere aufeinanderfolgende Frequenzermittlungen berechnet und einer Vergleichseinrichtung 63 zugeleitet, welche die ermittelten Abweichungen mit Referenz- und/oder Schwellenwerten vergleicht und bei Überschreitung einer vorgegebenen Differenz zu den Referenz- und/oder Schwellenwerten ein Warnsignal an die im Blickfeld des Fahrers angeordnete Warnleinrichtung 10 abgibt.

[0098] Die Figur 11 zeigt eine schematische Darstellung der Signalverarbeitung einer erfindungsgemäßen Vorrichtung als Ablaufplan, bei der mit Hilfe einer Recheneinheit das Frequenzspektrum der Nulldurchgangszeiten in Abhängigkeit von der Zeit (Nulldurchgangszeiten-Signal) einer Frequenzanalyse zur Ermittlung der spektralen Leistungsdichte (power spectral density) unterzogen wird.

[0099] Wiederum sind hier zunächst schematisch dargestellt die an den einzelnen Rädern vorn links (FL), vorn rechts (FR), hinten links (RL) und hinten rechts (RR) angeordneten Sensoreinrichtungen, die aus den als Polräder gemäß der Fig. 2a ausgebildeten Geber-einrichtungen 27-30 und den jeweils zugeordneten Magnetfeldsensoren 31-34 bestehen.

[0100] Die durch die Sensoreinrichtungen detektierten Drehzahl-Ausgangssignale werden dann an die zur zentralen Recheneinheit 1 gehörigen Signalverarbeitungseinrichtung 100 weitergeleitet und hier mit Hilfe

der Tiefpaß-Filter 35-38 von hochfrequenten Rauschanteilen gefiltert, wonach die das Drehzahl-Ausgangssignal repräsentierende Schwingung über Schmitt-Trigger 39-42 in ein Rechtecksignal aus Einzelimpulsen umgewandelt wird.

[0101] Die jeweils erhaltenen Einzelimpulse aus den Drehzahl-Ausgangssignalen der einzelnen Räder gelangen dann zu den Zeitkontrolleneinrichtungen 50 bis 53 (Timer), welche für mehrere aufeinanderfolgende und definierte Raddrehwinkel die entsprechenden Zeiten für die durch die definierten Raddrehwinkel bestimmten Teildrehungen des Rades messen, wobei die Messung der Zeiten durch die Ermittlung der Zeitdifferenzen $\Delta T_{00}(t)$ zwischen zwei auf- bzw. absteigenden und mit den Zeiten für die Teildrehungen korrelierenden Flanken des Rechtecksignals (Nulldurchgangszeiten) erfolgt.

[0102] Das Frequenzspektrum des so erhaltenen Nulldurchgangszeiten-Signales wird dann den Recheneinheiten 64 - 67 zugeleitet, in denen eine Frequenzanalyse FT (ΔT_0) in Form einer Fourier-Transformation zur Ermittlung der spektralen Leistungsdichte durchgeführt wird.

[0103] Nachfolgend werden die spektralen Leistungsdichten der entsprechend verarbeiteten jeweiligen Drehzahl-Ausgangssignale der einzelnen Räder in den Recheneinheiten 68 - 71 einer Integration über bestimmte Frequenzbereiche unterzogen, sodaß sich für das Integral ein Wert des Ausdrucks

$$\int FT(\Delta T_0) df = I_{f_i}$$

ergibt. Die so im Hinblick auf die jeweiligen Drehzahl-Ausgangssignale der einzelnen Räder ermittelten Integralwerte $I_{FL}(t)$, $I_{FR}(t)$, $I_{RL}(t)$, und $I_{RR}(t)$ werden dann zunächst einem Speicher 72 und dann einer Vergleichseinrichtung 73 zugeleitet, welche die ermittelten Integralwerte mit Referenz- und/oder Schwellenwerten vergleicht und bei Überschreitung einer vorgegebenen Differenz zu den Referenz- und/oder Schwellenwerten ein Warnsignal an die im Blickfeld des Fahrers angeordnete Warnleinrichtung 10 abgibt.

Bezugszeichenliste

[0104]

1	zentrale Recheneinheit
2-5	Sensoreinrichtung
50 6-9	Rad
10	Anzeigeleinrichtung
11	Polrad
12	Magnetfeldsensor
13	gezahntes Rad / Geberleinrichtung
55 14	Magnetfeldsensor
15	Reifenseitenwand
16	permanentmagnetische Areale
17	Magnetfeldsensor

24	Zeitintervall
25	---
26	---
27-30	aktive Gebereinrichtung
31-34	Magnetfeldsensor
35-38	Tiefpaß-Filter
39-42	Schmitt-Trigger
43-46	Zeitkontrollereinrichtung
43'-46'	Zähleinrichtung
47	Speicher
48	Rechnerschaltung
49	Vergleichseinrichtung
50-53	Zeitkontrollereinrichtung (Timer)
54	Speicher
55	Rechnerschaltung
56	Vergleichseinrichtung
57-60	Recheneinheit zur Frequenzbestimmung mittels Kehrwertbildung
61	Speicher
62	Rechnerschaltung
63	Vergleichseinrichtung
64-67	Recheneinheit zur Durchführung einer Fourier-Transformation
68-71	Recheneinheit zur Durchführung einer Integration
72	Speicher
73	Vergleichseinrichtung
100	Signalverarbeitungseinrichtung
200	Geschwindigkeitskurve
201, 202	Referenz- oder Schwellenwert
203	Zeitverhalten des normalen Drehzahl-Ausgangssignales
204	Zeitverhalten des überlagerten Drehzahl-Ausgangssignales
205	Nulldurchgangszeiten-Signal des normalen Drehzahl-Ausgangssignales
206	Nulldurchgangszeiten-Signal des überlagerten Drehzahl-Ausgangssignales
207	Frequenzen der Nulldurchgangszeiten des normalen Drehzahl-Ausgangssignales
208	Frequenzen der Nulldurchgangszeiten des überlagerten Drehzahl-Ausgangssignales
209	aus dem normalen Drehzahl-Ausgangssignal ermittelte Radgeschwindigkeiten
209' - 209'''	aus dem normalen Drehzahl-Ausgangssignal bei realem Fahrbetrieb ermittelte Radgeschwindigkeiten
210	aus dem überlagerten Drehzahl-Ausgangssignal ermittelte Radgeschwindigkeiten
210'	aus dem überlagerten Drehzahl-Ausgangssignal bei realem Fahrbetrieb ermittelte Radgeschwindigkeiten
211	aus den Radgeschwindigkeiten des normalen Drehzahl-Ausgangssignales ermittelte Radbeschleunigungen

212	aus den Radgeschwindigkeiten des überlagerten Drehzahl-Ausgangssignales ermittelte Radbeschleunigungen
213	durch Mittelwertbildung gefilterte Radbeschleunigungen
214	spektrale Leistungsdichte (normales Drehzahl-Ausgangssignal)
215	spektrale Leistungsdichte (überlagertes Drehzahl-Ausgangssignal)

10

Patentsprüche

1. Verfahren zur Ermittlung sich anbahnender Laufstreifenablösungen eines Luftreifens an einem Fahrzeug, bei dem mindestens an jeder Achse, vorzugsweise an jedem Rad, eine permanent vorhandene erste periodische und zur Raddrehzahl proportionale Schwingung erzeugt und als Drehzahl-Ausgangssignal einer Signalverarbeitungseinrichtung zugeleitet wird, und bei dem eine oder mehrere separat definierte, für sich anbahnende Laufstreifenablösungen charakteristische und zur Raddrehzahl proportionale periodische Schwingungen der ersten Schwingung bzw. dem Drehzahl-Ausgangssignal überlagert werden, und bei dem die Signalverarbeitungseinrichtung eine Überlagerung der ersten periodischen Schwingung mit der/den separat definierten und für sich anbahnende Laufstreifenablösungen charakteristischen periodischen Schwingung(en) detektiert und zu einem Warnsignal verarbeitet werden.
2. Verfahren nach Anspruch 1, bei dem mindestens an jeder Achse, vorzugsweise an jedem Rad, eine permanent vorhandene erste periodische und zur Raddrehzahl proportionale Schwingung erzeugt und als Drehzahl-Ausgangssignal einer Signalverarbeitungseinrichtung zugeleitet wird, wobei das Drehzahl-Ausgangssignal durch aktive oder passive Magnetfeldsensoren bereitgestellt wird, indem relativ zu letzteren rotierende magnetisch aktive oder passive und an mit dem Rad drehenden oder an feststehenden Teilen des Fahrzeuges befindliche Einrichtungen, vorzugsweise Encoder, eine zur Raddrehzahl proportionale periodische Magnetfeldänderung erzeugen, und bei dem sich anbahnende Laufstreifenablösungen eine oder mehrere separat definierte, für sich anbahnende Laufstreifenablösungen charakteristische und zur Raddrehzahl proportionale periodische Schwingungen der ersten Schwingung bzw. dem Drehzahl-Ausgangssignal überlagert werden, und bei dem die Signalverarbeitungseinrichtung eine Überlagerung der ersten periodischen Schwingung mit der/den separat definierten und für sich anbahnende Laufstreifenablösungen charakteristischen periodischen Schwingung(en) detektiert und zu einem Warnsi-

gnal verarbeitet werden.

3. Verfahren nach Anspruch 1 oder 2, **dadurch gekennzeichnet, daß** das Drehzahl-Ausgangssignal nach einer Verarbeitung in der Signalverarbeitungseinrichtung mit einem oder mehreren Referenz- und / oder Schwellenwerten verglichen und die Überlagerung mit den separaten und für sich anbahnende Laufstufenabläufen charakteristischen periodischen Schwingungen anhand einer Überschreitung der Referenz- und / oder Schwellenwerte erkannt und zu einem Warnsignal verarbeitet wird.
4. Verfahren nach Anspruch 3, **dadurch gekennzeichnet, daß** das Drehzahl-Ausgangssignal eines Rades oder einer Achse nach einer Verarbeitung in der Signalverarbeitungseinrichtung mit Drehzahl-Ausgangssignalen der übrigen Räder oder Achsen als Referenzwerten verglichen wird.
5. Verfahren nach Anspruch 3 oder 4, **dadurch gekennzeichnet, daß** in der Signalverarbeitungseinrichtung aus dem Drehzahl-Ausgangssignal die Radgeschwindigkeit für vorgegebene Zeitintervalle errechnet und mit einem oder mehreren Referenz-Radgeschwindigkeiten und / oder Schwellenwerten verglichen wird, wobei ausgehend von der das Drehzahl-Ausgangssignal repräsentierenden Schwingung in der Signalverarbeitungseinrichtung
 - a) zunächst für mehrere aufeinanderfolgende und definierte Raddrehwinkel die entsprechenden Zeiten für die durch die definierten Raddrehwinkel bestimmten Teildrehungen des Rades ermittelt und gespeichert werden, und danach
 - b) innerhalb von definierten und mehrere aufeinanderfolgende Raddrehwinkel beinhaltenen Zähzeiten T_L aus den für die Teildrehungen ermittelten Zeiten und deren Anzahl eine mittlere Raddrehgeschwindigkeit für eine oder mehrere Radumdrehungen innerhalb der Zähzeiten errechnet und gespeichert wird, wonach
 - c) die gemittelten Raddrehgeschwindigkeiten bzw. deren Verlauf mit Referenz- und / oder Schwellenwerten verglichen werden, wobei
 - d) bei Überschreitung der Referenz- und / oder Schwellenwerte ein Warnsignal ausgegeben wird.
6. Verfahren nach Anspruch 3 oder 4, **dadurch gekennzeichnet, daß** ausgehend von der das Drehzahl-Ausgangssignal repräsentierenden Schwingung in der Signalverarbeitungseinrichtung

- a) zunächst für mehrere aufeinanderfolgende und definierte Raddrehwinkel die entsprechenden

den Zeiten für die durch die definierten Raddrehwinkel bestimmten Teildrehungen des Rades ermittelt und gespeichert werden, und danach

- b) ein Mittelwert aus mehreren solchen aufeinanderfolgend ermittelten Zeiten für eine oder mehrere Radumdrehungen errechnet und gespeichert wird, wonach
- c) die Abweichungen der gem. a) ermittelten und gespeicherten Zeiten von dem gem. b) errechneten Mittelwert ermittelt werden, und danach
- d) die ermittelten Abweichungen mit Referenz- und / oder Schwellenwerten verglichen werden, wobei
- e) bei Überschreitung der Referenz- und / oder Schwellenwerte ein Warnsignal ausgegeben wird.

7. Verfahren nach Anspruch 3 oder 4, **dadurch gekennzeichnet, daß** ausgehend von der das Drehzahl-Ausgangssignal repräsentierenden Schwingung in der Signalverarbeitungseinrichtung
 - a) zunächst für mehrere aufeinanderfolgende und definierte Raddrehwinkel die entsprechenden Zeiten für die durch die definierten Raddrehwinkel bestimmten Teildrehungen des Rades ermittelt und gespeichert werden, und danach
 - b) mit Hilfe einer oder mehrerer Recheneinheiten die Frequenzen der gem. a) ermittelten und gespeicherten Zeiten durch Kehrwertbildung errechnet und danach gespeichert werden, wobei anschließend
 - c) ein Mittelwert der gem. b) ermittelten Frequenzen für eine oder mehrere Radumdrehungen errechnet und gespeichert wird, wonach
 - d) die Abweichungen der gem. b) ermittelten und gespeicherten Frequenzen von dem gem. c) errechneten Mittelwert ermittelt werden, und danach
 - e) die ermittelten Abweichungen mit Referenz- und / oder Schwellenwerten verglichen werden, wobei
 - f) bei Überschreitung der Referenz- und / oder Schwellenwerte ein Warnsignal ausgegeben wird.
8. Verfahren nach Anspruch 3 oder 4, **dadurch gekennzeichnet, daß** ausgehend von der das Drehzahl-Ausgangssignal repräsentierenden Schwingung in der Signalverarbeitungseinrichtung
 - a) zunächst für mehrere aufeinanderfolgende und definierte Raddrehwinkel die entsprechenden Zeiten für die durch die definierten Raddrehwinkel bestimmten Teildrehungen des

- Rades ermittelt und gespeichert werden, und danach
- b) mit Hilfe einer oder mehrerer Recheneinheiten das Frequenzspektrum der gem. a) ermittelten und gespeicherten Zeiten einer Frequenzanalyse zur Ermittlung der spektralen Leistungsdichte (power spectral density) unterzogen wird, wobei anschließend
- c) mit Hilfe einer oder mehrerer Recheneinheiten die ermittelten spektralen Leistungsdichten einer Integration über bestimmte ausgewählte Frequenzintervalle unterzogen und danach gespeichert werden, wonach
- d) der Integralwert der ausgewählten Frequenzintervalle verglichen wird mit einem Referenz- oder Schwellenwert, und
- e) bei Überschreitung der Referenz- oder Schwellenwerte ein Warnsignal ausgegeben wird.
9. Verfahren nach Anspruch 8, **dadurch gekennzeichnet**, daß als ausgewählte Frequenzintervalle genau solche verwendet werden, die einem Vielfachen der Raddrehfrequenz entsprechen, wobei vorzugsweise niedere Vielfache der Raddrehfrequenz ($n = 1, 2, 3$) betrachtet werden.
10. Verfahren nach Anspruch 3 oder 4, **dadurch gekennzeichnet**, daß ausgehend von der das Drehzahl-Ausgangssignal repräsentierenden Schwingung in der Signalverarbeitungseinrichtung
- a) zunächst für mehrere aufeinanderfolgende und definierte Raddrehwinkel die entsprechenden Zeiten für die durch die definierten Raddrehwinkel bestimmten Teildrehungen des Rades ermittelt und gespeichert werden, und danach
- b) mit Hilfe einer oder mehrerer Recheneinheiten aus den gem. a) ermittelten und gespeicherten Zeiten die augenblicklichen Radgeschwindigkeiten errechnet und danach gespeichert werden, wobei anschließend
- c) ein Mittelwert der gem. b) ermittelten Radgeschwindigkeiten für eine oder mehrere Radumdrehungen errechnet und gespeichert wird, wonach
- d) die Abweichungen der gem. b) ermittelten und gespeicherten Radgeschwindigkeiten von dem gem. c) errechneten Mittelwert ermittelt werden, und danach
- e) die ermittelten Abweichungen mit Referenz- und / oder Schwellenwerten verglichen werden, wobei
- f) bei Überschreitung der Referenz- und / oder Schwellenwerte ein Warnsignal ausgegeben wird.

11. Verfahren nach Anspruch 3 oder 4, **dadurch gekennzeichnet**, daß ausgehend von der das Drehzahl-Ausgangssignal repräsentierenden Schwingung in der Signalverarbeitungseinrichtung
- a) zunächst für mehrere aufeinanderfolgende und definierte Raddrehwinkel die entsprechenden Zeiten für die durch die definierten Raddrehwinkel bestimmten Teildrehungen des Rades ermittelt und gespeichert werden, und danach
- b) mit Hilfe einer oder mehrerer Recheneinheiten aus den gem. a) ermittelten und gespeicherten Zeiten die augenblicklichen Radbeschleunigungen errechnet und danach gespeichert werden, wobei anschließend
- c) ein Mittelwert der gem. b) errechneten Radbeschleunigungen für eine oder mehrere Radumdrehungen errechnet und gespeichert wird, wonach
- d) die Abweichungen der gem. b) errechneten Radbeschleunigungen von dem gem. c) errechneten Mittelwert oder von einem Nullwert ermittelt werden, und danach
- e) die ermittelten Abweichungen mit Referenz- und / oder Schwellenwerten verglichen werden, wobei
- f) bei Überschreitung der Referenz- und / oder Schwellenwerte ein Warnsignal ausgegeben wird.
12. Verfahren nach Anspruch 6 bis 10, **dadurch gekennzeichnet**, daß die in einer oder mehreren Zeitkontroleinrichtungen (Timer) gemessenen Zeitdifferenzen zwischen den Nulldurchgängen (Nulldurchgangszeiten) vor der weiteren Verarbeitung zunächst einer drehsynchronen Mittelung in der Art unterzogen werden, daß über mehrere Radumdrehungen aus den in Bezug auf eine Radumdrehung in gleichen Zeitintervallen bzw. in gleichen Drehwinkelintervallen gemessenen Nulldurchgangszeiten ein Mittelwert gebildet wird, der dann der weiteren Signalverarbeitung zugrunde liegt.
13. Verwendung eines Verfahrens zur Ermittlung sich anbahnender Laufstreifenabblösungen eines Luftreifens an einem Fahrzeug nach Anspruch 1 bis 12 innerhalb eines Kontrollsystems für luftbereifte Fahrzeugräder, insbesondere innerhalb eines Anti-Blockier-Systems (ABS), wobei durch das Kontrollsystem mindestens an jeder Achse, vorzugsweise an jedem Rad, eine permanent vorhandene erste periodische und zur Raddrehzahl proportionale Schwingung erzeugt und als Drehzahl-Ausgangssignal einer Signalverarbeitungseinrichtung des Kontrollsystems zugeleitet wird, wobei sich anbahnende Laufstreifenabblösungen eine oder mehrere separat definierte, für sich anbahnende-Laufstreifen

fenablösungen charakteristische und zur Raddrehzahl proportionale periodische Schwingungen der ersten Schwingung bzw. dem Drehzahl-Ausgangssignal überlagert werden, und bei dem die Signalverarbeitungseinrichtung eine Überlagerung der ersten periodischen Schwingung mit der/den separat definierten und für sich anbahnende Laufstreifenablösungen charakteristischen periodischen Schwingung(en) detektiert und zu einem Warnsignal verarbeitet.

14. Verwendung eines Verfahrens zur Ermittlung sich anbahnender Laufstreifenablösungen eines Luftreifens an einem Fahrzeug nach Anspruch 13, **dadurch gekennzeichnet, dass** der errechnete Mittelwert zunächst um einen ersten Referenzwert bereinigt wird, welcher Fertigungstoleranzen des ABS-Signalgebers (Encoders) für das jeweilige Rad repräsentiert.
15. Verfahren zur Ermittlung sich anbahnender Laufstreifenablösungen eines Luftreifens an einem Fahrzeug nach einem der Ansprüche 1 bis 14 **dadurch gekennzeichnet, dass** parallel zur Erfassung des Drehzahl-Ausgangssignals der Reifeninnendruck durch einen Druckerfassungseinrichtung ermittelt wird, wobei Abweichungen von einem vorgegebenen Sollwert um einen vorbestimmten Betrag zu einem für den Fahrer wahrnehmbaren Signal führen.
16. Verfahren zur Ermittlung sich anbahnender Laufstreifenablösungen eines Luftreifens an einem Fahrzeug nach Anspruch 15, **dadurch gekennzeichnet, dass** der durch die Druckerfassungseinrichtung ermittelte Druckwert in Korrelation zum Drehzahl-Ausgangssignal gebracht wird.
17. Verfahren zur Ermittlung sich anbahnender Laufstreifenablösungen eines Luftreifens an einem Fahrzeug nach Anspruch 16, **dadurch gekennzeichnet, dass** als Druckerfassungseinrichtung ein Deflation Detection System (DDS) verwendet wird, bei welchem luftdruckbedingte Veränderungen des Abrollumfangs des Reifens ermittelt werden.

50

55

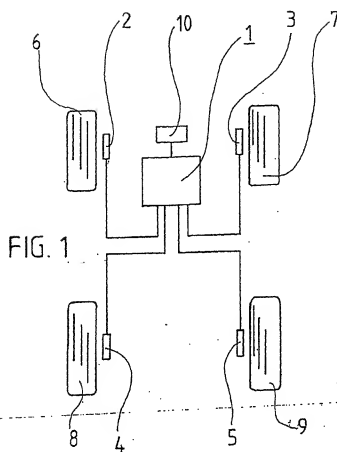


FIG. 2

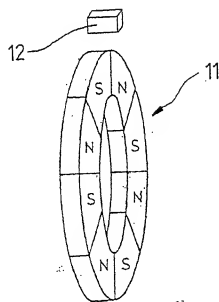


FIG. 3

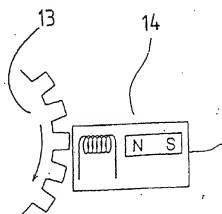


FIG. 4

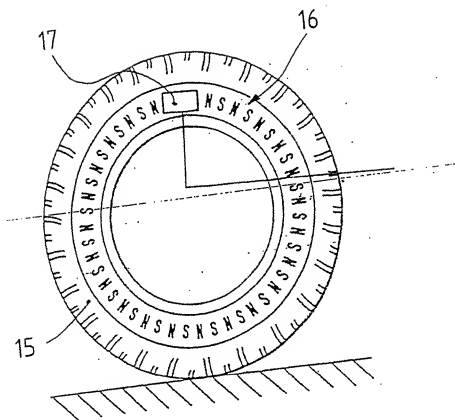


FIG. 5a

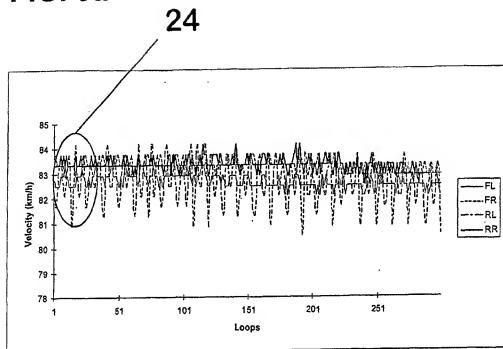
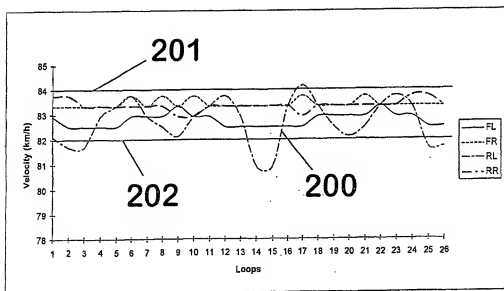


FIG. 5b



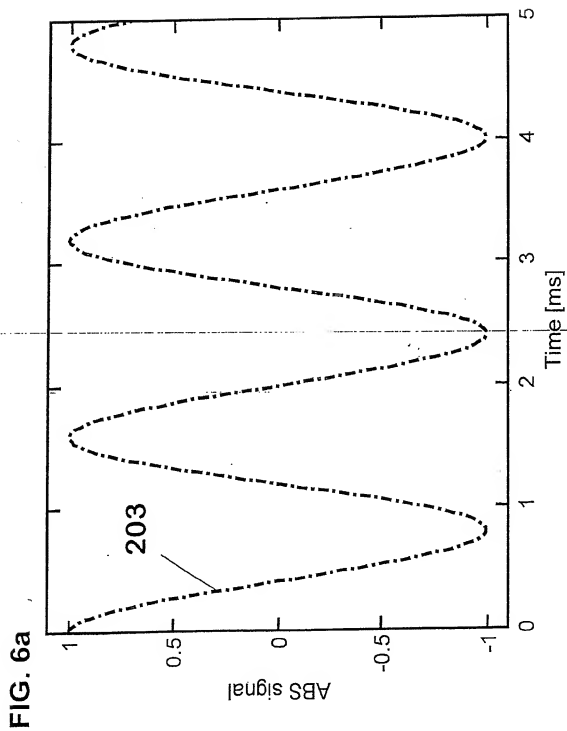


FIG. 6b

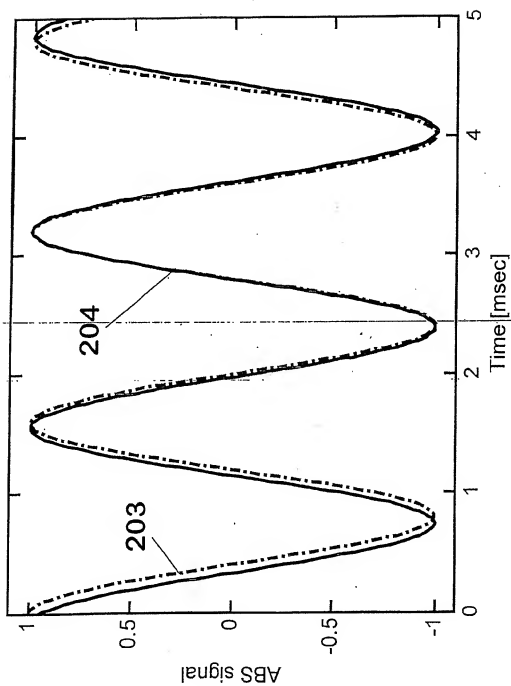
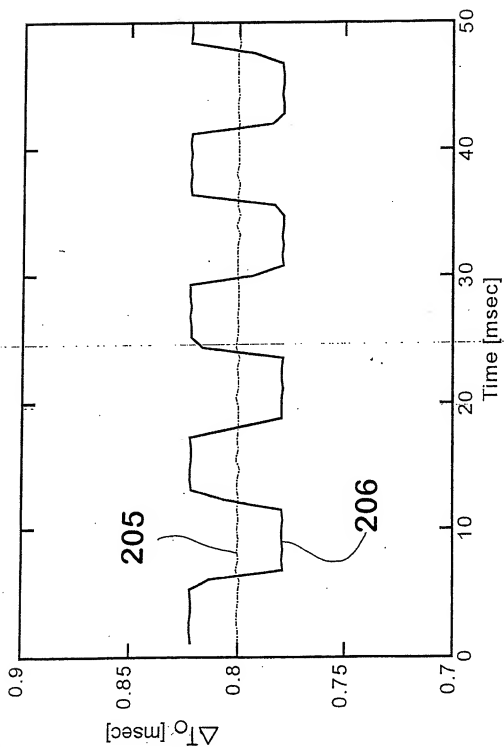


FIG. 7a



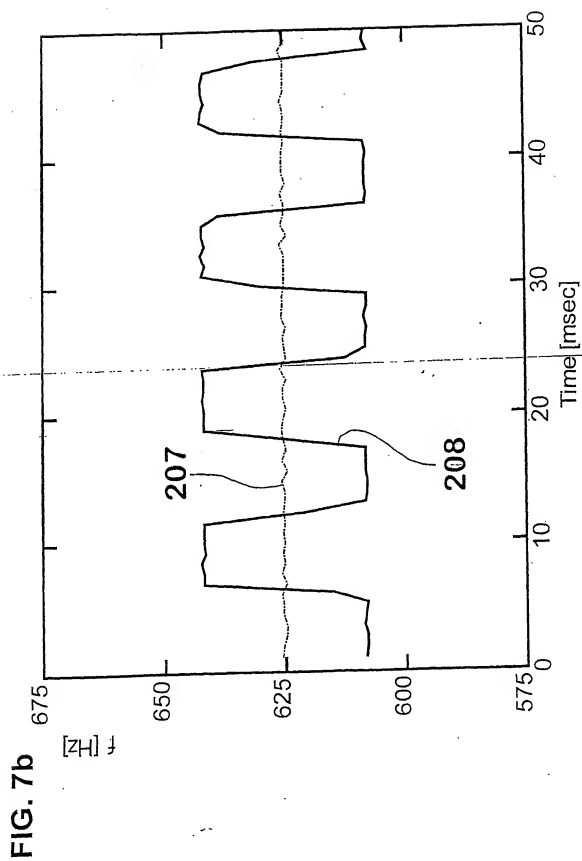


FIG. 7c

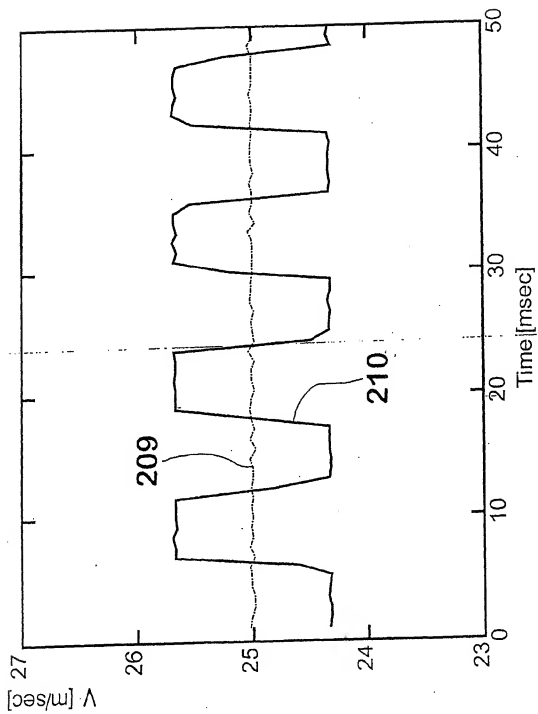


FIG. 7d

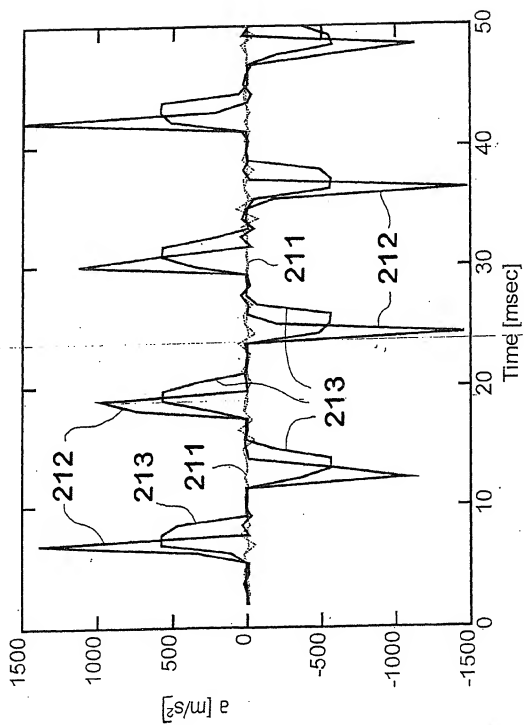


FIG. 7e

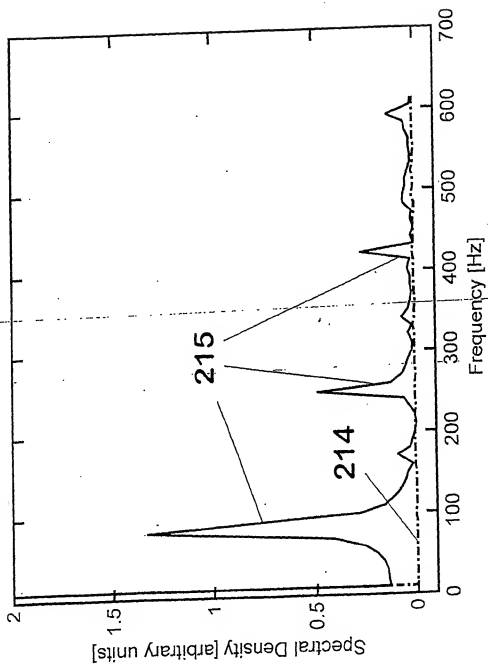
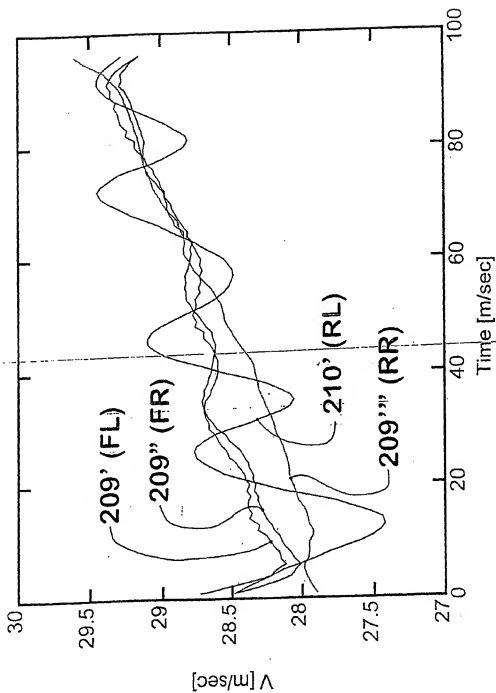


FIG. 7f



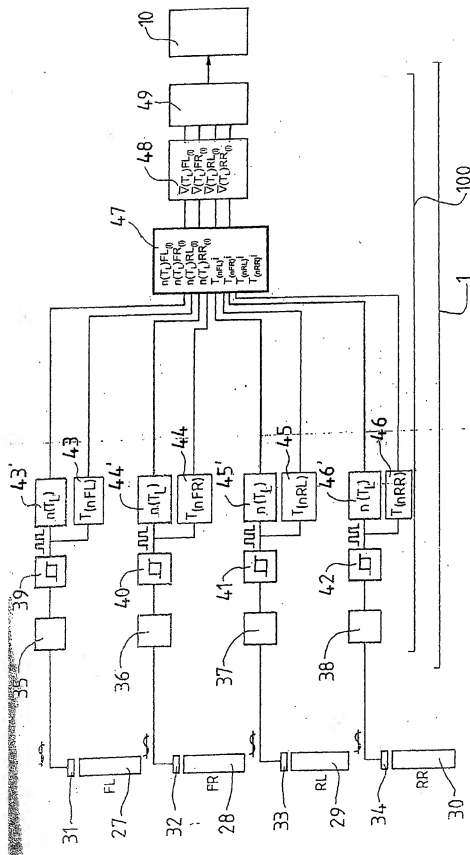


FIG. 8

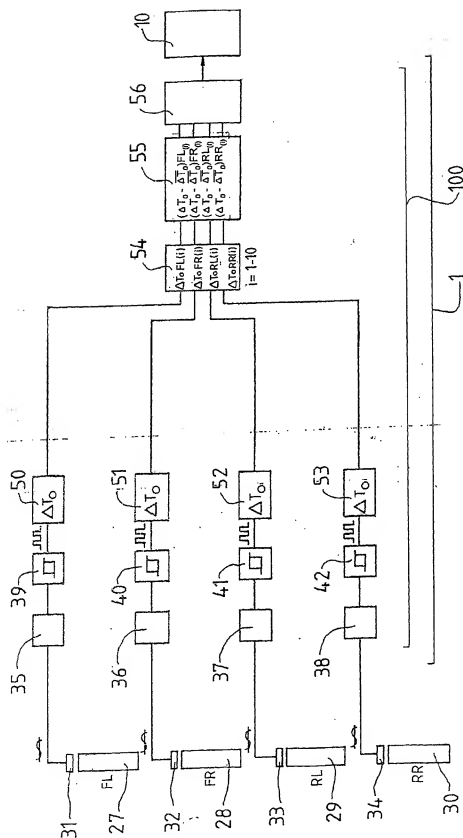


FIG. 9

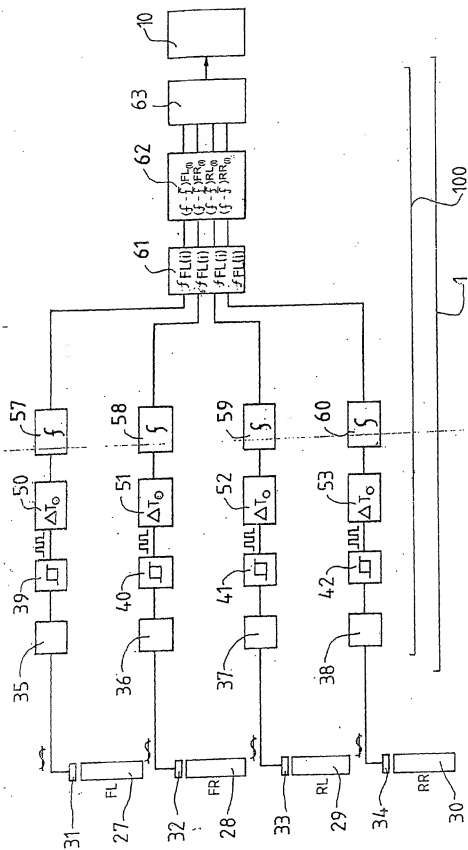


FIG. 10

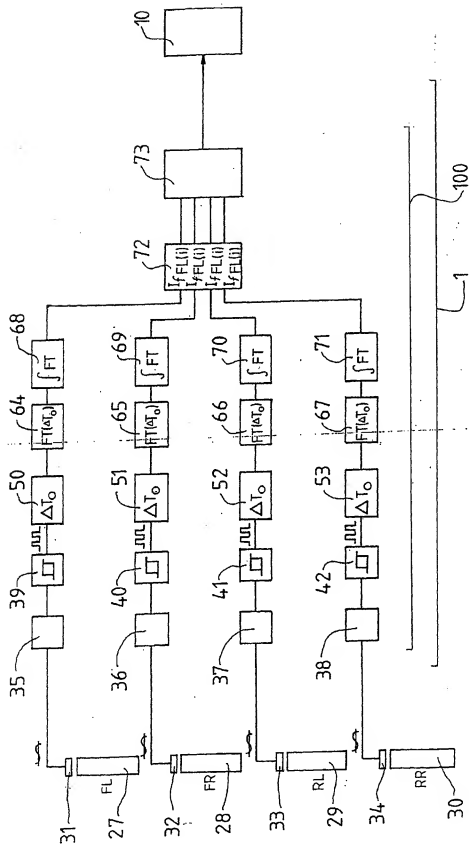


FIG. 11